

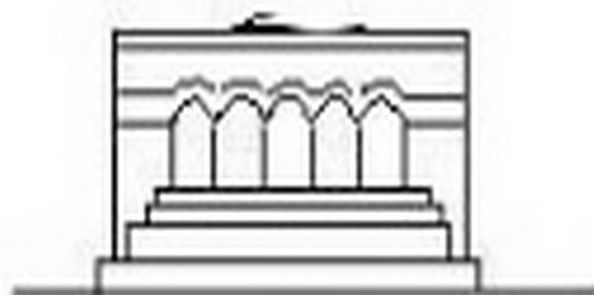
ՄԵՆԱՆԻՇՄ



МЕХАНИКА



MECHANICS



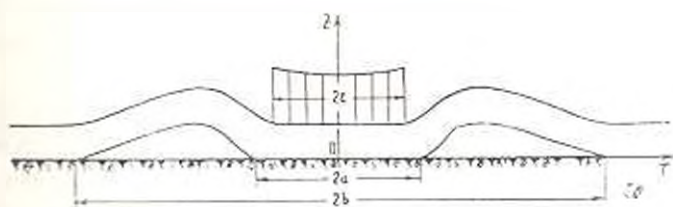
1976

В. С. НИКИШИН, Г. С. ШАПИРО

### КОНТАКТНАЯ ЗАДАЧА ТЕОРИИ УПРУГОСТИ ДЛЯ СЛОЯ. ЛОКАЛЬНО ПРИЖАТОГО К ПОЛУПРОСТРАНСТВУ

Рассматриваются две контактные задачи теории упругости для слоя прижатого к упругому полупространству под действием локальной осесимметричной нагрузки, приложенной на верхней поверхности слоя. В одном случае слой предполагается весомым, а в другом — невесомым. В обоих случаях трение между слоем и основанием отсутствует.

Под действием нагрузки весомый слой отходит от основания в кольцевой области  $a < r < b$ . Радиусы  $a$  и  $b$  неизвестны и подлежат определению из условия равенства нулю контактного давления на окружных контурах  $r = a$  и  $r = b$  (фиг. 1).



Фиг. 1.

Невесомый слой предполагается закрепленным на бесконечности, так что после приложения к нему нагрузки напряжения и перемещения на бесконечности остаются равными нулю. В таком случае невесомый слой под действием нагрузки отходит от основания в кольцевой области  $a < r < b$ , как и весомый слой. Однако, условие равенства нулю контактного давления используется только на контуре  $r = a$  для определения радиуса  $a$ . Нижняя поверхность слоя и поверхность полупространства свободны от напряжений как в кольцевой области  $a < r < b$ , в которой слой отходит от полупространства, так и в области их соприкосновения  $r \geq b$ . Поэтому радиус  $b$  устанавливается автоматически численным решением задачи.

В настоящей работе построены точные решения осесимметричных задач о весомом и невесомом слоях произвольной толщины. В обоих случаях упругие характеристики слоя  $E, \nu$ , и полупространства  $K, \nu$  задаются произвольно. Обе задачи сводятся к неоднородным интегральным уравнениям Фредгольма второго рода. Интегральное уравнение, соответствующее весомому слою, определено на полюси и содержит два неизвестных параметра. Интегральное уравнение, соответствующее невесомому слою, определено на отрезке конечной длины и содержит один неизвестный параметр. В обоих случаях неоднородные интегральные уравнения Фредгольма эф-

эффективно разрешимы численными методами. Приведены примеры численного решения задачи о невесомом слое.

Приближенные решения задачи о невесомом слое даны в работах [1, 2]. В первой из них слой рассматривается как тонкая пластинка и решение строится на основе теории пластин, а во второй применяется вариационный метод. Осесимметричная и плоская задачи о невесомом слое в точной постановке рассмотрены в работах [3, 4]. В них исходные уравнения сведены к однородному интегральному уравнению Фредгольма второго рода, решение которого существует, однако при ограничительном условии, накладываемом на упругие свойства материалов слоя и полупространства. Плоская задача о весоомом слое рассмотрена в работе [5], в которой исходные уравнения сведены к интегральному уравнению Фредгольма первого рода, решенному приближенно вариационным методом.

### § 1. Построение общих решений осесимметричной задачи теории упругости для слоя и полупространства

Введем безразмерные переменные  $\rho = r/a$ ,  $t = z/H$  ( $H$  — толщина слоя) и примем начало отсчета цилиндрической системы координат  $(\rho, t)$  на граничной плоскости полупространства. Величина отношения  $\lambda = H/a$  является характерным параметром задачи.

Общие решения задачи теории упругости для слоя и полупространства без учета их веса строятся с помощью функции напряжений Лява и представляются через интеграл Ханкеля [6]. Выпишем необходимые для дальнейшего изложения нормальные и касательные напряжения и нормальные перемещения в слое и полупространстве

$$\sigma_{zz} = \int_0^{\infty} \beta \Delta_{11}(t, \beta) J_0(\beta \rho) d\beta, \quad \sigma_{\theta\theta} = \int_0^{\infty} \beta \Delta_{22}(t, \beta) J_1(\beta \rho) d\beta$$
(1.1)

$$\frac{E_1}{(1 - \nu_1) a} w_t = \int_0^{\infty} \Delta_{33}(t, \beta) J_0(\beta \rho) d\beta$$

Здесь в случае слоя ( $i=1$ )

$$\begin{aligned} \Delta_{11}(t, \beta) &= - [A_1(\beta) + (\beta t - 1 + 2\nu_1) B_1(\beta)] e^{-\beta(1-t)} - \\ &\quad - [C_1(\beta) + (\beta t + 1 - 2\nu_1) D_1(\beta)] e^{-\beta t} \\ \Delta_{22}(t, \beta) &= [A_1(\beta) + (\beta t - 2\nu_1) B_1(\beta)] e^{-\beta(1-t)} + \\ &\quad - [C_1(\beta) + (\beta t - 2\nu_1) D_1(\beta)] e^{-\beta t} \\ \Delta_{33}(t, \beta) &= - [A_1(\beta) + (\beta t - 2(1 - 2\nu_1)) B_1(\beta)] e^{-\beta(1-t)} - \\ &\quad - [C_1(\beta) + (\beta t + 2(1 - 2\nu_1)) D_1(\beta)] e^{-\beta t} \end{aligned}$$
(1.2)

а в случае полупространства ( $i=2$ )

$$\begin{aligned} \Delta_{-2}(t, \beta) &= -[A_2(\beta) + (\beta t - 1 + 2\nu_2) B_2(\beta)] e^{i\beta t} \\ \Delta_2(t, \beta) &= [A_1(\beta) + (\beta t + 2\nu_2) B_2(\beta)] e^{i\beta t} \\ \Delta_{-1}(t, \beta) &= -[A_1(\beta) + \beta t - 2(1 - 2\nu_1)] B_2(\beta) e^{i\beta t} \end{aligned} \quad (1.3)$$

Касательные напряжения на граничных поверхностях слоя (верхней и нижней) и полупространства примем равными нулю

$$\tau_{z1}(\rho, t)|_{t=1} = \tau_{z1}(\rho, t)|_{t=0} = \tau_{z1}(\rho, t)|_{t=-\infty} = 0, \quad 0 \leq \rho < \infty \quad (1.4)$$

Известные нормальные напряжения на внешней граничной плоскости записываются в форме

$$\varepsilon_{z1}(\rho, t)|_{t=1} = P_1(\rho) + P_1^*(\rho), \quad 0 \leq \rho < \infty \quad (1.5)$$

где  $P_1(\rho)$  — произвольно заданная функция интенсивности нормальной нагрузки, а  $P_1^*(\rho)$  — некоторая функция интенсивности малой дополнительной нагрузки, введенная для обеспечения сходимости интеграла (1.1) для осевых перемещений в слое ( $i=1$ ) [7, 8].

Учитывая равенство осевых нормальных напряжений в слое и полупространстве на их общей границе  $t=0$ , запишем

$$\varepsilon_{z1}(\rho, t)|_{t=0} = \varepsilon_{z2}(\rho, t)|_{t=0} = P_0(\rho), \quad 0 \leq \rho < \infty \quad (1.6)$$

где  $P_0(\rho)$  — пока неизвестная функция.

Представим функции  $P_0(\rho)$  и  $P_1(\rho)$  через интеграл Ханкеля

$$P_i(\rho) = \int_0^{\infty} \beta \bar{P}_i(\beta) J_0(\rho\beta) d\beta \quad (i=0, 1) \quad (1.7)$$

где трансформанты Ханкеля выражаются формулами

$$\bar{P}_i(\beta) = \int_0^{\infty} \rho P_i(\rho) J_0(\rho\beta) d\rho \quad (i=0, 1) \quad (1.8)$$

Функцию  $P_1^*(\rho)$  представим через интеграл специального вида

$$P_1^*(\rho) = \int_0^{\infty} \beta f(\beta) \Delta_{-1}(1, \beta) J_0(\rho\beta) d\beta \quad (1.9)$$

где  $\Delta_{-1}(1, \beta)$  — функция  $\Delta_{-1}(t, \beta)$  (1.2) при  $t=1$ , стоящая под знаком интеграла (1.1) для нормальных перемещений в слое на внешней граничной плоскости, а  $f(\beta)$  — некоторая непрерывная функция, введенная для обеспечения сходимости интеграла (1.1) для  $w_1(\rho, t)$ .

Подставляя формулы (1.1), (1.2), (1.7) и (1.9) в краевые условия (1.4)—(1.6) для слоя, получим систему из четырех уравнений для неизвестных функций  $A_1(\beta)$ ,  $B_1(\beta)$ ,  $C_1(\beta)$ ,  $D_1(\beta)$ , разрешимую на всей полуоси  $\beta \geq 0$ . Определяя из этой системы выражения функций  $A_1(\beta)$ ,  $B_1(\beta)$ ,  $C_1(\beta)$ ,  $D_1(\beta)$  по правилу Крамера и подставляя их в (1.2), по-

лучим представление общего решения для слоя через трансформанты Ханкеля  $\bar{P}_0(\beta)$ ,  $\bar{P}_1(\beta)$  и функцию  $f(\beta)$ . Аналогично, подставляя формулы (1.1), (1.3) и (1.7) для  $i=2$  в краевые условия (1.4) и (1.6) для полупространства, получим систему уравнений для  $A_2(\beta)$  и  $B_2(\beta)$ , из которой находим  $A_2(\beta) = -2\nu_2 \bar{P}_0(\beta)$ ,  $B_2(\beta) = \bar{P}_1(\beta)$ . Внося последние равенства в формулы (1.3), получим простые выражения для напряжений и перемещений в полупространстве через  $\bar{P}_0(\beta)$ . Выпишем необходимые для дальнейшего изложения осевые напряжения и перемещения в слое и полупространстве на их общей граничной плоскости  $t=0$ :

$$\sigma_{12}(\rho, t)|_{t=0} = \sigma_{22}(\rho, t)|_{t=0} = \int_0^{\infty} \beta \bar{P}_0(\beta) J_0(\rho\beta) d\beta \quad (1.10)$$

$$\begin{aligned} \frac{E_1}{2(1-\nu_1^2)\alpha} w_1(\rho, t)|_{t=0} &= \int_0^{\infty} \Delta_{01}(\beta) \bar{P}_1(\beta) J_0(\rho\beta) d\beta - \\ &- \int_0^{\infty} \Delta_{00}(\beta) \bar{P}_0(\beta) J_0(\rho\beta) d\beta \end{aligned} \quad (1.11)$$

$$\frac{E_2}{2(1-\nu_2^2)\alpha} w_2(\rho, t)|_{t=0} = \int_0^{\infty} \bar{P}(\beta) J_0(\rho\beta) d\beta \quad (1.12)$$

Функции  $\Delta_{01}(\beta)$  и  $\Delta_{00}(\beta)$  в (1.11) имеют вид

$$\begin{aligned} \Delta(\beta) \Delta_{01}(\beta) &= 2e^{-2\beta} [1 - e^{-2\beta} + \beta(1 + e^{-2\beta})] \\ \Delta(\beta) \Delta_{00}(\beta) &= 1 - e^{-4\beta} + 4\beta e^{-2\beta} - 2(1-\nu_1)f(\beta)(1 - e^{-2\beta})^2 \quad (1.13) \\ \Delta(\beta) &= (1 - e^{-2\beta})^2 - 4(\beta e^{-2\beta})^2 - 2(1-\nu_1)f(\beta)(1 - e^{-4\beta} + 4\beta e^{-2\beta}) \end{aligned}$$

В (1.11) требуется сходимость каждого интеграла в отдельности при произвольных  $\bar{P}_i(\rho)$  ( $i=0,1$ ), представленных интегралами Ханкеля. При  $f(\beta)=0$  и, следовательно, при  $\bar{P}_1(\rho)=0$  оба интеграла (1.11) расходятся в нижнем пределе, так как при  $\beta \rightarrow 0$  имеем  $\Delta_{00}(\beta) \approx 6(\beta)^{-2}$ ,  $\bar{P}_i(\rho) \approx F'(2\alpha a^i)$  ( $i=0,1$ ), где  $F$  — результирующее усилие осевых нормальных напряжений на граничных плоскостях слоя  $t=0$  и  $t=1$ . Сходимость обоих интегралов (1.11) в нижнем пределе обеспечивает функция  $f(\beta)$ , введенная единственно с этой целью через дополнительную нагрузку  $\bar{P}_1(\rho)$  (1.9). Для сходимости интегралов (1.11) достаточно потребовать, чтобы  $f(0) \neq 0$ . Кроме того, от  $f(\beta)$  требуется, чтобы функция  $\Delta(\beta)$  (последнее соотношение (1.13)) не обращалась в нуль на всей полуоси  $0 < \beta < \infty$ , а интенсивность дополнительной нагрузки  $\bar{P}_1(\rho)$  при всяком  $\rho \in [0, \infty)$  и ее результирующее усилие  $F'$

были достаточно малы по абсолютной величине. Всем этим требованиям удовлетворяет, например, функции ( $\varepsilon, k, \rho$  — положительные константы)

$$f(\beta) = -\varepsilon(k^2 + \beta^2)^{-\frac{3}{2}} e^{-\rho\beta} \quad (1.14)$$

Все подынтегральные функции общего решения (1.1) для слоя, выраженные описанным выше методом через  $f(\beta)$  и  $\bar{P}_i(\beta)$  ( $i = 0, 1$ ), непрерывны и ограничены на всей полуоси  $0 \leq \beta < \infty$ . Пусть модуль  $\Delta_{\text{max}}(1, \beta)$  ограничен сверху числом  $M > 0$ , тогда из интегрального представления (1.9) и его обращения с учетом (1.14) находим оценки

$$|P'_i(\rho)| < \varepsilon \rho^{-2} k^{-2} M \quad (0 < \rho < \infty), \quad |F^{\text{в}}| < 2\varepsilon \rho^2 k^{-2} M$$

При достаточно малом  $\varepsilon$  и больших  $k, \rho$  модуль  $P'_i(\rho)$  при всех  $\rho \in [0, \infty)$  и модуль  $F^{\text{в}}$  могут быть сделаны пренебрежимо малыми.

Построенные выше формулы для напряжений и перемещений в слое учитывают только внешнюю нагрузку и не учитывают собственный вес слоя. Приведем теперь формулы для напряжений и перемещений в слое, возникающих только от действия собственного веса, с учетом принятой системы координат [9]

$$\begin{aligned} \sigma_{r1z} = \tau_{\theta 1z} &= \frac{\gamma z^2}{1 - \nu_1}, \quad \tau_{rz1} = -\sigma(1 - t), \quad \tau_{rz1\theta} = 0 \\ u_{1z} &= \frac{\alpha \nu_1 z^2}{E_1}, \quad w_{1z} = -\frac{\alpha^2 z t}{E_1} \left[ 1 - \frac{(1 + \nu_1)(1 - 2\nu_1)}{2(1 - \nu_1)} t \right] \end{aligned} \quad (1.15)$$

где  $\sigma = \gamma H$ ,  $\gamma$  — вес единицы объема материала слоя. Напряжения и перемещения в несомом слое, возникающие от действия внешней нагрузки и собственного веса, находятся путем суперпозиции

$$\begin{aligned} \sigma_{ij}^* &= \sigma_{ij} + \sigma_{ij\text{в}} \quad (i = r, \theta, z), \quad \tau_{rz1}^* = \tau_{rz1} + \tau_{rz1\text{в}} \\ u_1^* &= u_1 + u_{1\text{в}}, \quad w_1^* = w_1 + w_{1\text{в}} \end{aligned} \quad (1.16)$$

Вес слоя оказывает постоянное давление  $P = -\sigma$  на граничную плоскость полупространства  $l = 0$  и вызывает в полупространстве следующие напряжения и перемещения:

$$\sigma_{z2}^* = -\sigma, \quad \tau_{rz2}^* = \tau_{\theta z2}^* = \tau_{rz2} = 0, \quad u_2^* = \frac{\alpha \nu_2 z^2}{E_2}, \quad w_2^* = -\frac{\alpha^2 z t}{E_2} \quad (1.17)$$

Напряжения и перемещения в полупространстве (1.17) от действия веса слоя надо наложить на построенные выше напряжения и перемещения от нагрузки  $P_1(\rho)$ , переданной через слой внешней нагрузкой  $P_2(\rho)$ , в результате получим для напряжений и перемещений в полупространстве с учетом веса слоя

$$\begin{aligned} \varphi_{rz}^* &= \varphi_{rz} + \varphi_{rz}' & (r = r_1, 0, z), & \quad \tau_{rz2}^* = \tau_{rz2} + \tau_{rz2}' \\ u_z^* &= u_z + u_z', & w_z^* &= w_z + w_z' \end{aligned} \quad (1.18)$$

## § 2. Задача о сжатии несомого слоя

Пусть под действием локальной нагрузки интенсивностью  $P_0^*(r)$  ( $0 \leq r \leq c$ ), приложенной на верхней граничной плоскости слоя  $z=H$ , весомый слой отходит от полупространства в кольцевой области  $a < r < b$ . В безразмерных переменных  $\rho = r/a$  интенсивность внешней нагрузки выражается функцией  $P_1(\rho) = P_0^*(a\rho)$ , заданной в круговой области  $0 < \rho < \rho_1$  ( $\rho_1 = c/a$ ), а область отставания слоя от полупространства находится в кольце  $1 < \rho < \rho_0$  ( $\rho_0 = b/a$ ). Неизвестным величинам  $a$  и  $b$  соответствуют неизвестные параметры  $\lambda = H/a$  и  $\rho_0 = b/a$ .

Краевые условия на граничной плоскости между слоем и полупространством задаются следующими равенствами:

$$\begin{aligned} \tau_{rz1}^*(\rho, t)|_{t=0} &= \tau_{rz2}^*(\rho, t)|_{t=0} = 0, & 0 \leq \rho < \infty \\ \sigma_{z1}^*(\rho, t)|_{t=0} &= \tau_{z2}^*(\rho, t)|_{t=0} = 0, & 1 < \rho < \rho_0 \\ w_z^*(\rho, t)|_{t=0} &= w_z^*(\rho, t)|_{t=0}, & 0 \leq \rho < 1, \quad \rho_0 < \rho < \infty \end{aligned} \quad (2.1)$$

С учетом формул (1.15) — (1.18) условия (2.1) преобразуются к виду

$$\tau_{rz1}(\rho, t)|_{t=0} = \tau_{rz2}(\rho, t)|_{t=0} = 0, \quad 0 \leq \rho < \infty \quad (2.2)$$

$$\sigma_{z1}(\rho, t)|_{t=0} = \sigma_{z2}(\rho, t)|_{t=0} = z, \quad 1 < \rho < \rho_0 \quad (2.3)$$

$$w_1(\rho, t)|_{t=0} = w_2(\rho, t)|_{t=0}, \quad 0 \leq \rho < 1, \quad \rho_0 < \rho < \infty \quad (2.4)$$

Краевые условия (2.2) были учтены при построении общих решений задачи теории упругости для слоя и полупространства в § 1. Подставляя формулы (1.10) — (1.12) и краевые условия (2.3) и (2.4), получим тройные интегральные уравнения для неизвестной трансформанты  $\bar{P}_0(\beta)$

$$\begin{aligned} \int_0^{\infty} [\chi + \Delta_{00}(\beta)] \bar{P}_0(\beta) J_0(\rho\beta) d\beta &= \int_0^{\infty} \Delta_{01}(\beta) \bar{P}_1(\beta) J_0(\rho\beta) d\beta, & 0 \leq \rho < 1 \\ \int_0^{\infty} \beta \bar{P}_0(\beta) J_0(\rho\beta) d\beta &= z, & 1 < \rho < \rho_0 \end{aligned} \quad (2.5)$$

$$\int_0^{\infty} [\chi + \Delta_{00}(\beta)] \bar{P}_0(\beta) J_0(\rho\beta) d\beta = \int_0^{\infty} \Delta_{01}(\beta) \bar{P}_1(\beta) J_0(\rho\beta) d\beta, \quad \rho > \rho_0$$

где через  $\chi$  обозначена постоянная

$$\chi = \frac{E_1(1 - \nu_1^2)}{E_2(1 - \nu_2^2)} \quad (2.6)$$

Представим  $\Delta_{00}(\beta)$  в форме  $\Delta_{00}(\beta) = 1 + \Delta_0(\beta)$  и дадим главные члены асимптотических формул для функций  $\Delta_0(\beta)$  и  $\Delta_{00}(\beta)$ :

при  $\beta \rightarrow 0$

$$\Delta_0(\beta) \approx -1 + 2^2 [2(1 - \nu_0)]^{-2}, \quad \Delta_{00}(\beta) \approx \beta^2 [2(1 - \nu_0)]^{-1}$$

при  $\beta \rightarrow \infty$

$$\Delta_0(\beta) \approx 4(\beta t)^2 e^{-2\beta t}, \quad \Delta_{00}(\beta) \approx 2\beta t e^{-2\beta t}$$

Методом Нобла [10] и Кука [11], основные идеи которого изложены в работе [8], тройные интегральные уравнения (2.5) сводятся к интегральному уравнению Фредгольма второго рода для новой неизвестной функции  $\varphi(x)$

$$(1 + \gamma)\varphi(x) + \frac{2}{\pi} \int_0^1 K_1(x, t)\varphi(t) dt + \frac{2}{\pi} \int_0^\infty K_2(x, t)\varphi(t) dt = \frac{2}{\pi} \Phi(x), \quad 0 \leq x \leq 1, \quad x > \nu_0 \quad (2.7)$$

где

$$K_1(x, t) = \begin{cases} \int_0^1 \Delta_0(\beta) \cos(x\beta) \cos(t\beta) d\beta, & 0 \leq x \leq 1 \\ \frac{x}{x^2 - t^2} + \int_0^\infty \Delta_0(\beta) \cos(x\beta) \sin(t\beta) d\beta, & x > \nu_0 \end{cases}$$

$$K_2(x, t) = \begin{cases} \frac{t}{t^2 - x^2} + \int_0^\infty \Delta_0(\beta) \cos(x\beta) \sin(t\beta) d\beta, & 0 \leq x < 1 \\ \int_0^\infty \Delta_0(\beta) \sin(x\beta) \sin(t\beta) d\beta, & x > \nu_0 \end{cases}$$

$$\Phi(x) = \begin{cases} \int_0^1 \{ \Delta_{00}(\beta) \bar{P}_1(\beta) - [\gamma + \Delta_{00}(\beta)] \bar{P}_2(\beta) \} \cos(x\beta) d\beta, & 0 \leq x < 1 \\ \int_0^\infty \{ \Delta_{00}(\beta) \bar{P}_1(\beta) - [\gamma + \Delta_{00}(\beta)] \bar{P}_2(\beta) \} \sin(x\beta) d\beta, & x > \nu_0 \end{cases}$$

где

$$\bar{P}_0(\beta) = \frac{2}{\beta} [\nu_0 J_1(\nu_0 \beta) - J_1(\beta)]$$

Основная искомая функция  $P_0(\rho)$  (1.6) выражается через решение интегрального уравнения (2.7) по формуле

$$P_0(\rho) = \begin{cases} \frac{\varphi(\lambda, \rho_0, 1)}{\sqrt{1-\rho^2}} - \int_1^{\rho} \frac{\varphi_x'(\lambda, \rho_0, x)}{\sqrt{x^2-\rho^2}} dx, & 0 < \rho < 1 \\ \sigma, & 1 < \rho < \rho_0 \\ \frac{\varphi(\lambda, \rho_0, \rho_0)}{\sqrt{\rho^2-\rho_0^2}} - \int_{\rho_0}^{\rho} \frac{\varphi_x'(\lambda, \rho_0, x)}{\sqrt{\rho^2-x^2}} dx, & \rho > \rho_0 \end{cases} \quad (2.8)$$

где подчеркнута очевидная зависимость функции  $\varphi(x) = \varphi(\lambda, \rho_0, x)$  от параметров  $\lambda = H/a$  и  $\rho_0 = b/a$ . Так как  $P_0(\rho)$  ограничена на всей полуоси  $0 < \rho < \infty$ , то из формулы (2.8) вытекают два условия для определения параметров  $\lambda$  и  $\rho_0$

$$\varphi(\lambda, \rho_0, 1) = 0, \quad \varphi(\lambda, \rho_0, \rho_0) = 0 \quad (2.9)$$

Следовательно, задачи о сжатии несомого слоя удовлетворяют только те значения параметров  $\lambda$  и  $\rho_0$ , при которых решение интегрального уравнения (2.7) удовлетворяет условиям (2.9), то есть обращается в нуль в точках  $x=1$  и  $x=\rho_0$ . По виду правой части интегрального уравнения (2.7) можно заключить, что величины  $\lambda$  и  $\rho_0$  зависят от величины результирующего усилия, приложенного на внешней поверхности слоя. После численного решения интегрального уравнения (2.7) с учетом (2.9) вычисляется трансформанта Ханкеля от  $P_0(\rho)$

$$\bar{P}_0(\beta) = \bar{P}_2(\beta) + \int_0^1 \varphi(x) \cos(x\beta) dx + \int_0^{\rho_0} \varphi(x) \sin(x\beta) dx$$

Далее с помощью известных трансформант  $P_1(\beta)$  и  $\bar{P}_1(\beta)$  легко вычисляются все напряжения и перемещения в слое и полупространстве.

### § 3. Задача о сжатии несомого слоя

Пусть на несомый слой давит та же самая локальная нагрузка, что и на сомый слой (§ 2). Под воздействием этой нагрузки закрепленный на бесконечности несомый слой поднимется над полупространством в кольцевой области  $a < r < b$ . Радиус  $b$  предполагается достаточно большим, так что область контакта слоя и полупространства при  $r > b$  можно считать невозмущенной, в которой все компоненты напряжений и перемещений равны нулю. В безразмерных перемещениях  $\rho = r/a$  круговая область контакта слоя с полупространством имеет единичный радиус. Неизвестному радиусу  $a$  соответствует неизвестный параметр  $\lambda = H/a$ .

Крайние условия на граничной плоскости между слоем и полупространством задаются равенствами (2.2) для касательных напряжений, уточненными при выводе формул (1.10)–(1.12), и равенствами

$$z_{21}(\rho, t)|_{t=0} = z_{22}(\rho, t)|_{t=0} = 0, \quad 1 < \rho < \infty \quad (3.1)$$

$$w_1(\rho, t)|_{t=0} = w_2(\rho, t)|_{t=0}, \quad 0 \leq \rho < 1 \quad (3.2)$$

Внося формулы (1.10)—(1.12) в равенства (3.1)—(3.2), получим парные интегральные уравнения для неизвестной трансформанты  $\bar{P}_n(\beta)$ :

$$\int_0^{\infty} [\gamma + \Delta_{00}(\beta)] \bar{P}_0(\beta) J_0(\rho\beta) d\beta = \int_0^{\infty} \Delta_{01}(\beta) \bar{P}_1(\beta) J_0(\rho\beta) d\beta, \quad 0 \leq \rho \leq 1 \quad (3.3)$$

$$\int_0^{\infty} \beta \bar{P}_0(\beta) J_0(\rho\beta) d\beta = 0, \quad 1 < \rho < \infty$$

Методом, указанным в § 2, парные интегральные уравнения (3.3) сводятся к интегральному уравнению Фредгольма второго рода для новой неизвестной функции  $\varphi(\lambda)$

$$(1 + \gamma)\varphi(x) + \frac{2}{\pi} \int_0^1 K(x, t)\varphi(t) dt = \frac{2}{\pi} \int_0^1 \Delta_{01}(\beta) \bar{P}_1(\beta) \cos(x\beta) d\beta \quad (3.4)$$

с ядром

$$K(x, t) = \int_0^{\infty} \Delta_0(\beta) \cos(x\beta) \cos(t\beta) d\beta$$

Интегральное уравнение (3.4) получается из интегрального уравнения (2.7) при  $\sigma=0$  и  $\varphi(x)=0$  при  $x \geq \rho_0$ .

Основная искомая функция  $P_n(\rho)$  (1.6) выражается через решение интегрального уравнения (3.4) по формуле

$$P_0(\rho) = \begin{cases} \frac{\varphi(\rho, 1)}{\sqrt{1-\rho^2}} - \int_0^1 \frac{\varphi_t(\rho, x)}{\sqrt{x^2-\rho^2}} dx, & 0 \leq \rho < 1 \\ 0, & 1 < \rho < \infty \end{cases} \quad (3.5)$$

где подчеркнута очевидная зависимость функции  $\varphi(x) = \varphi(\lambda, x)$  от параметра  $\lambda = H/a$ . Так как  $P_0(\rho)$  ограничена на всей полуоси  $0 \leq \rho < \infty$ , то из формулы (3.5) вытекает условие для определения параметра  $\lambda$

$$\varphi(\rho, 1) = 0 \quad (3.6)$$

Следовательно, задаче о сжатии невесомого слоя удовлетворяет только то значение  $\lambda$ , при котором решение интегрального уравнения (3.4) удовлетворяет условию (3.6), то есть обращается в нуль на конце  $x=1$ . Очевидно, что при замене  $P_n(\rho)$  на  $FP_n(\rho)$  ( $F = \text{const}$ ) уравнению (3.4) соответствует решение  $F\varphi(\lambda)$ . При этом величина  $\lambda$ , определяемая из условия (3.6), не изменится. Это означает, что  $\lambda$  и, следовательно, искомый радиус

$\alpha = H/c$ , не зависят от величины результирующего усилия, прижимающего слой к полупространству.

После численного решения интегрального уравнения (3.4) с учетом (3.6) вычисляется трансформанта Ханкеля

$$\bar{P}_0(\beta) = \int_0^1 p(x) \cos(x\beta) dx \quad (3.7)$$

Далее с помощью известных трансформант  $\bar{P}_0(\beta)$  и  $\bar{P}_1(\beta)$  легко вычисляются все напряжения и перемещения в слое и полупространстве.

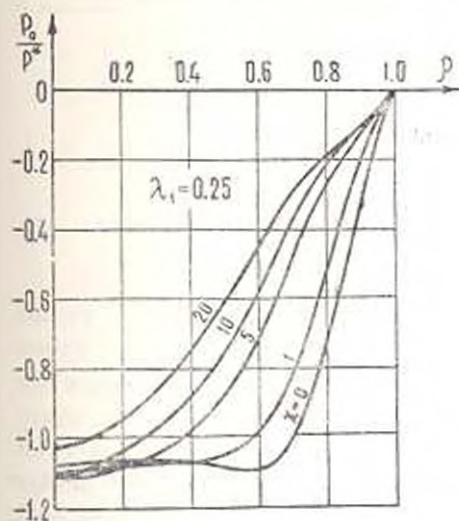
Авторами разработан алгоритм численного решения контактной задачи о сжатии невесомого слоя на языке «Алгол-60», который позволяет проводить подробный численный анализ напряженного и деформированного состояния слоя и полупространства при произвольном нагружении внешней поверхности слоя. Для иллюстрации теории приводятся некоторые основные результаты численного решения задачи для случая, когда слой прижимается к полупространству равномерно распределенной нагрузкой по площади круга радиуса  $c$ . Интенсивность нагрузки и ее трансформанта Ханкеля имеют вид

$$P_0(\rho) = \begin{cases} P^* - \text{const}, & 0 \leq \rho \leq c, \\ 0, & 1 < \rho < \infty, \end{cases} \quad \bar{P}_0(\beta) = -P^* \frac{2J_1(\beta c \beta)}{\beta^3}$$

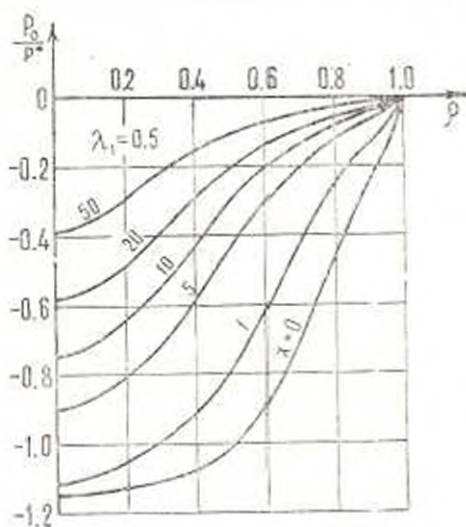
Здесь  $\rho_1 = c/a = \lambda/\lambda_1$ ,  $\lambda_1 = H/c$  — характерный параметр задачи,  $P^* = P/\pi c^2$ ,  $P$  — результирующее усилие, прижимающее слой к полупространству. Вычисления проведены для значений параметра  $\lambda_1 = 0.25, 0.5, 1$  при  $\chi = 0, 0.5, 1, 5, 10, 20, 50$  и  $\nu_1 = \nu_2 = 0.3$ . Соответствующие графики интенсивности контактного давления  $P_0(\rho)/P^*$  на площадке контакта  $0 \leq \rho \leq 1$  слоя и полупространства приведены на фиг. 2, 3, 4. Как видно на этих фигурах, при определенных значениях параметров  $\lambda_1$  и  $\chi$  имеет место эффект превышения контактного давления в центре площадки контакта по сравнению с интенсивностью равномерно распределенной нагрузки  $P^* = \text{const}$ , приложенной на внешней поверхности слоя. Этот эффект исчезает при возрастании  $\chi$ , а также при уменьшении или возрастании  $\lambda_1$ .

На фиг. 5 приведены перемещения  $w_1^0 = E_1 w_1(\rho) (1 + \nu_1) a$  на нижней поверхности слоя ( $t = +0$ ) (кривая 1) и перемещения  $w_2^0 = E_2 w_2(\rho) (1 + \nu_2) a$  поверхности полупространства ( $t = -0$ ) (кривая 2) при  $\lambda_1 = 0.25, 1$ . Вычисления показывают, что осевые перемещения невесомого слоя  $w_1(\rho)$  вне площадки контакта  $\rho > 1$  практически не зависят от  $t$ . Слой после максимального подъема над полупространством асимптотически приближается к полупространству, практически достигая его на расстоянии  $11a - 12a$  от оси.

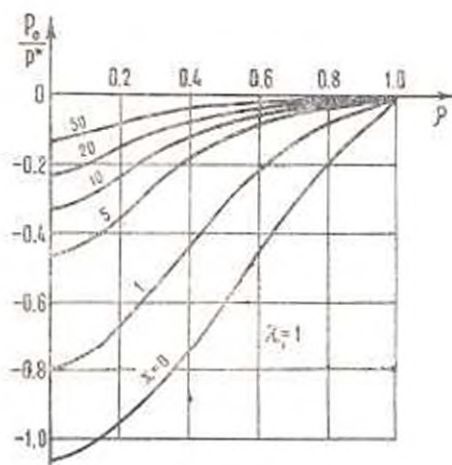
Значения параметра  $\lambda = H/a$ , соответствующие указанным выше значениям параметров  $\lambda_1$  и  $\chi$ , даны в следующей таблице:



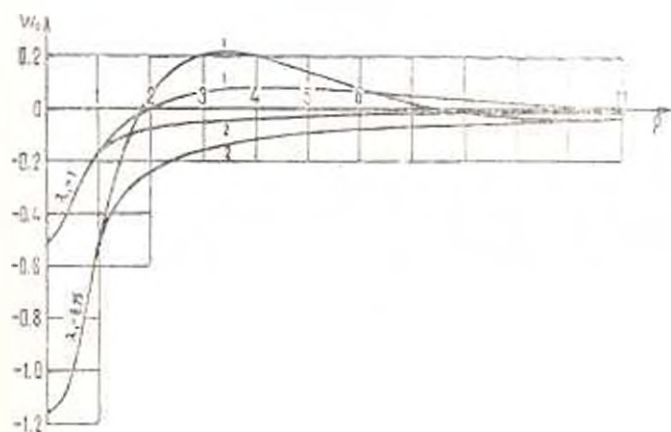
Фиг. 2.



Фиг. 3.



Фиг. 4.



Фиг. 5.

Таблица

| $x \backslash \lambda$ | 0.25  | 0.5   | 1     |
|------------------------|-------|-------|-------|
| 0                      | 0.225 | 0.403 | 0.636 |
| 0.5                    | 0.217 | 0.371 | 0.534 |
| 1                      | 0.211 | 0.348 | 0.471 |
| 5                      | 0.187 | 0.269 | 0.313 |
| 10                     | 0.172 | 0.230 | 0.256 |
| 20                     | 0.155 | 0.193 | 0.207 |
| 50                     |       | 0.148 | 0.155 |

Отметим, что приведенные в данной таблице значения параметра  $\lambda$  практически совпадают с соответствующими значениями этого параметра, полученными в работе [4].

Институт проблем механики  
АН СССР

Поступила 2 II 1976

Վ. Ս. ԻՎԱՆԻՑԱ, Գ. Ս. ՇԱՊԻՐՈ

ԹԵՄԱՆԱԿՈՐԵՆ ԿՐՈՍՏՐԱՑՈՒԹՅՈՒՆԸ ՍԵՐՈՎԱՆ ՇԵՐՏԻ ԶԱՐԱՐ  
Ս.ՌԱԶԳԱՆԱՆՈՒԹՅԱՆ, ՏԵՍՈՒԹՅԱՆ ԿՈՆՏԱԿՏԱՅԻՆ ԵՆԻՐԸ

Ա. մ. փ. ո. փ. ո. մ.

Կառուցվել են շղթայի լուծումներ կիսատարածությունը մասնակիորեն սեղմված կշիռ ունեցող և անկշիռ կամավոր հաստություններ շերտերի առաձգականության տեսության ասանցքատիմեթոդի ինդիքների համար, երբ շերտերը կիսատարածության նախնին ոչ լիով կոնտակտ: Շերտի և կիսատարածության առաձգական բնավաղորդիչները սրվում են կամավոր ձևով: Երկու խընդիրներն էլ բերվել են ոչ համառոտ կրկրորդ սեռի ֆրեզհոյմի ինտեգրալ նախասարմաների:

Թվային օրինակում բերվել է մակերևույթի վերջավոր շառավիղով շրջանային մասի վրա համասարաչափ բաշխված բեռով անկշիռ շերտի կիսատարածությունը սեղմման ինդքի լուծումը:

Պրոչվել են շերտի և կիսատարածության միջև կոնտակտային մակերևույթի շառավիղը և այդ մակերևույթի վրա ճնշումների բաշխումը:

THE CONTACT PROBLEM IN ELASTICITY THEORY  
FOR THE LAYER LOCALLY BOUND TO SEMISPACED

V. S. NIKISHIN, G. S. SHAPIRO

## S u m m a r y

Exact solutions of the axially symmetric problems in the elasticity theory of weighable and unweighable arbitrary thickness layers locally bound to a semispace and having an incomplete contact with the latter are obtained. Elastic characteristics of the layer and semispace are given arbitrary. Both problems are reduced to the unhomogenous Fredholm second kind integral equations effectively soluble by numerical methods. Numerical solution of an unweighable layer bound to a semispace with regularly distributed load over an area of finite length is presented as an example. The area radius of contact between layer and semispace and pressure distribution over the area are estimated.

## ЛИТЕРАТУРА

1. Veitsman Y. On the unbonded contact between plates and an elastic half space. Trans. ASME, Ser. E, J. Appl. Mech., 1969, vol. 36, № 2. (Рус. перевод: Прикл. механ., Тр. Америк. о-ва инж.-механ., сер. E, 1969, т. 36, № 2).
2. Pu S. L., Hussain M. A. Note on unbonded contact between plates and an elastic half space. Trans. ASME, Ser. E, J. Appl. Mech., 1970, vol. 37, № 3.
3. Приварников А. К. О контакте слоя с другим полупространством. Изв. АН СССР, МТТ, 1972, № 4.
4. Keer L. M., Dundurs J., Tsai K. S. Problems involving a spreading contact between a layer and a half space. Trans. ASME, Ser. E, J. Appl. Mech., 1972, vol. 39, № 4.
5. Hussain M. A., Pu S. L. A variational principle for singular integral equations with bounded solutions. International Journal of Engineering Science, 1973, vol. 11, pp. 767-781.
6. Никишин В. С., Шапиро Г. С. Пространственные задачи теории упругости для многослойных сред. М., ВЦ АН СССР, 1970.
7. Никишин В. С., Шапиро Г. С. О локальном несимметричном сжатии упругого слоя, ослабленного кольцевой или круговой щелью. ПММ, 1974, т. 38, вып. 1.
8. Никишин В. С., Шапиро Г. С. О локальном несимметричном сжатии упругого слоя, ослабленного кольцевой или круговой щелью. Успехи механики деформируемых сред. М., Изд-во «Наука», 1975.
9. Лурье А. И. Пространственные задачи теории упругости. М., Гостехиздат, 1955.
10. Noble B. Certain dual integral equations. J. Math. Phys., 1958, vol. 37, № 2.
11. Snook J. C. Triple integral equations. Quart. J. Mech. and Appl. Math., 1963, vol. 16, № 2.

В. И. ФЛБРИКАНТ

### ЗАМКНУТОЕ РЕШЕНИЕ ОДНОГО ИНТЕГРАЛЬНОГО УРАВНЕНИЯ

Описан прием, позволяющий получить точное замкнутое решение интегрального уравнения, встречающегося в различных задачах механики сплошной среды [1, 2]. Интегральное уравнение более общего вида рассмотрено в работах [3—5]. Используемый в данной статье прием основан на идее сведения интегрального уравнения к двум последовательным операторам типа Абеля [6—9]. Полученное решение, по-видимому, проще существующих. Результаты иллюстрируются примерами.

1. Рассмотрим интегральное уравнение вида

$$\int_b^x \frac{f(t) dt}{(x-t)} - K \int_x^a \frac{f(t) dt}{(t-x)^\nu} = F(x) \quad (0 < \nu < 1, b < x \leq a) \quad (1.1)$$

Здесь  $F$  и  $f$  — соответственно известная и искомая функция.  $K$  — известная константа.

Воспользуемся известными формулами [10]

$$\frac{1}{(x-t)} = \frac{(x-b)^\nu (t-b)^{1-\nu}}{B(\nu, 1-\nu)} \int_b^t \frac{(y-b)^{\nu-1} (t-y)^{1-\nu}}{(x-y)^{\nu+1}} dy \quad (1.2)$$

$$\frac{1}{(t-x)} = \frac{(x-b)^\nu (t-b)^{1-\nu}}{B(\nu, 1-\nu-\nu)} \int_b^t \frac{(y-b)^{\nu-1} (t-y)^{\nu-1}}{(x-y)^{\nu+1}} dy \quad (1.3)$$

Подберем величину  $\mu$  таким образом, чтобы выполнялось равенство

$$\frac{B(\nu, 1-\nu-\nu)}{B(\nu, \nu)} = K \quad (1.4)$$

Использование свойства бета-функций [10] позволяет упростить (1.4)

$$\frac{\sin \pi \mu}{\sin \pi (\mu + \nu)} = K$$

Из последнего равенства легко определить величину  $\mu$

$$\mu = \frac{1}{\pi} \arctg \frac{\sin \pi \nu}{K^{-1} - \cos \pi \nu} \quad (1.5)$$

Теперь подстановка (1.2) и (1.3) в (1.1) с учетом (1.4) после изменения порядка интегрирования приводит рассматриваемое уравнение к виду

$$\frac{(x-b)^{\nu}}{B(\nu, \mu)} \int_0^x \frac{(u-b)^{\nu-1} dy}{(x-y)^{\mu+\nu}} \int_0^y \frac{f(t) dt}{(t-b)^{\mu-1} (t-y)^{1-\mu}} = F(x) \quad (1.6)$$

Интегральные операторы в левой части уравнения (1.6) являются хорошо изученными Абелевыми [11]. Применение обратных операторов позволяет получить точное замкнутое решение уравнения (1.1)

$$f(t) = - \frac{\sin \pi(\mu + \nu)}{\pi^2 (t-b)^{1-\mu-\nu}} B(\nu, \mu) \times \\ \times \frac{d}{dt} \int_0^t \frac{(z-b)^{\mu-1} dz}{(z-t)^{\nu}} \frac{d}{dz} \int_0^z \frac{F(x) dx}{(x-b)^{\mu} (z-x)^{1-\mu}} \quad (1.7)$$

2. Рассмотрим примеры. Пусть  $F(x) = C = \text{const}$ . В этом случае формула (1.7) дает результат

$$f(t) = \frac{C \sin \pi(\mu + \nu)}{\pi (t-b)^{1-\mu-\nu} (a-t)^{\mu}} \quad (2.1)$$

Для  $F(x) = Cx$  получим

$$f(t) = \frac{C \sin \pi(\mu + \nu) [t-b - \mu(a-b) + \nu b]}{\pi \nu (t-b)^{1-\mu-\nu} (a-t)^{\mu}} \quad (2.2)$$

В случае  $F(x) = Cx^2$  решение имеет вид

$$f(t) = \frac{C \sin \pi(\mu + \nu) [2(t-b)(t+M) + M^2 - \mu(a^2 - b^2) + \nu b^2]}{\pi \nu (1 + \nu) (t-b)^{1-\mu-\nu} (a-t)^{\mu}} \\ M = \nu b - \mu(a-b)$$

В заключение рассмотрим задачу о давлении кругового плоского штампа радиуса  $a$  на неоднородное полупространство с модулем упругости, зависящим от глубины ( $E = E(z)$ ). Как известно [2], такая задача сводится к решению интегрального уравнения вида (1.1) с параметрами

$$b = -a, \quad K = \frac{-1 + i \operatorname{tg} \frac{\lambda \pi}{2} / \operatorname{tg}^2 \frac{\nu \pi}{2}}{1 + i \operatorname{tg} \frac{\lambda \pi}{2} / \operatorname{tg}^2 \frac{\nu \pi}{2}}$$

Формула (1.5) дает

$$\nu = -\frac{\lambda}{2} + i\beta, \quad \lambda = \frac{1}{\pi} \operatorname{Arth} \left( \operatorname{tg} \frac{\lambda \pi}{2} / \operatorname{tg} \frac{\nu \pi}{2} \right)$$

Правая часть уравнения (1.1) в случае плоского штампа примет вид

$$F(x) = \frac{2 \operatorname{sh} \pi^2 \sin \frac{\pi \nu}{2} [\nu(x+a) - 2\nu a]}{\pi \Theta_{\nu}^2 \sin \pi(\mu + \nu)}$$

Здесь  $\beta$ ,  $\nu$ ,  $\kappa$ ,  $\Theta$  — величины, зависящие от упругих свойств материала полупространства [2],  $\delta$  — осадка штампа. Комбинация формул (2.1) и (2.2) позволяет получить решение

$$f(t) = \frac{2\delta \sin \frac{\pi\nu}{2} \operatorname{sh} \pi\beta}{z^{2\Theta} (1-z^2)^{\nu}} (a^2 - \delta^2)^{\nu/2} \left( \frac{a+t}{a-t} \right)^{\kappa}$$

Аналогичный результат был получен в работе [2], где интегральное уравнение решалось в рядах по полиномам Якоби.

Ивановский энергетический институт  
им. В. И. Ленина

Поступила 10 IV 1975

#### Վ. Բ. ՖԱԲՐԻԿԱՆՏ

#### ՄԵ ԿՆՏԵՑՐՈՒ ԶԱՎԱՍԵՐՈՒԹՅԱՆ ՓԱԿ ԼՈՒՆՈՒՄԸ

#### Ա մ փ ո փ ո ս ը

Հատուկ եղանակի սղնայթյաժը ստացվել է մի ինտեգրալ, հալասարման համար ճշգրիտ փակ լուծում: Այդպիսի ինտեգրալ հալասարում հանդիպում է ոչ համասեռ կիսատարածության համար, որի առաձգականության մոդուլը հանդիսանում է խորության աստիճանային ֆունկցիան, առաձգականության տեսության առանցքաբաներիկ խնդիրը լուծելու ժամանակ:

Հալասարման կորիզը ներկայացվում է ինտեգրալի տեսքով: Պարամետրերի որոշակի քննարկությունը թույլ է տալիս դիտարկվող հալասարումը փոխարինել Արելի տիպի երկու օղնայտարներով:

Փակ լուծում ստացվում է հայտնի շրջան օղնայտարների ոգտադրծումից հետո:

Գիտարկվել են օրինակներ:

#### CLOSED SOLUTION OF AN INTEGRAL EQUATION

V. I. FABRICANT

#### S u m m a r y

An integral equation is considered to be applicable to the solution of mixed boundary-value problems for a non-homogeneous half-space. An exact closed solution of the equation is obtained by a special method. Examples are examined.

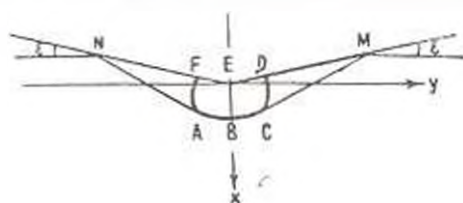
## ЛИТЕРАТУРА

1. Арутюнян Н. Х., Манукян М. М. Контактная задача теории ползучести с учетом сил трения. ПММ, 1963, 27, вып. 5, 813—820.
2. Попов Г. Я. Осесимметричная контактная задача для упругого неоднородного полупространства при наличии сцепления. ПММ, 1973, 37, вып. 6, 1109—1116.
3. Саколюк К. Д. Обобщенное уравнение Абеля. Докл. АН СССР, 1960, 131, № 4, 748—751.
4. Сажко С. Г. Обобщенное уравнение Абеля и уравнение с ядром Коши. Докл. АН СССР, 1967, 176, № 5, 1019—1022.
5. Сажко С. Г. Об обобщенном уравнении Абеля и операторах дробного дифференцирования. Диф. уравнения, 1968, 4, № 2, 298—314.
6. Гохберг И. Ц., Крейн М. Г. Теория вольтерровых операторов и гильбертовом пространстве и ее приложения. «Наука», М., 1967.
7. Ахиезер Н. И., Щербина В. А. Об обращении некоторых сингулярных интегралов. Записки матем. отд. физ.-мат. ф-та и Харьковского матем. общества, 1957, 24, сер. 4, 191—198.
8. Мхитарян С. М. О формулах Н. И. Ахиезера и В. А. Щербиной обращения некоторых сингулярных интегралов. Матем. исследования, 1968, 3, вып. 1 (7), 61—70.
9. Мхитарян С. М. Об эффективном решении некоторых классов линейных интегральных уравнений первого рода и связанных с ними дифференциальных уравнениях. Докл. АН Арм. ССР, 1969, 48, № 2, 71—78.
10. Градштейн И. С., Рыжик И. М. Таблицы интегралов, сумм, рядов и произведений. М., Физматгиз, 1963.
11. Забрейко П. П. и др. Интегральные уравнения. М., Физматгиз, 1968.

А. Д. АЗАТЯН, А. Г. БАГДОВЕВ

## ПРОНИКНОВЕНИЕ КЛИНА В ЭЛЕКТРОПРОВОДЯЩУЮ ЖИДКОСТЬ В ПРИСУТСТВИИ МАГНИТНОГО ПОЛЯ

Рассматривается задача о проникании тупого клина в идеальную электропроводящую сжимаемую жидкость со свободной поверхностью, занимающую полупространство, при наличии сильной ударной волны и начального магнитного поля, параллельного невозмущенной свободной поверхности. Для случая слабой магнитогазодинамической волны аналогичная по математической постановке задача о проникании клина в сжимаемую жидкость решена в [1]. При параллельности начального магнитного поля невозмущенной поверхности жидкости, как показано далее, силовые линии магнитного поля не проходят во внутрь клина ( $B_n = 0$  на клине) и поэтому задача может быть решена независимо от поля внутри клина. Для этой задачи система координат выбирается так, чтобы начало координат находилось в вершине клина, направление движения клина совпадало с положительным направлением оси  $x$ , а ось  $y$  была бы параллельна свободной поверхности. Каждая сторона клина образует с осью  $y$  малый угол  $\varepsilon$  (фиг. 1). Скорость



Фиг. 1.

проникания клина  $V$  предполагается такой, чтобы скорость точки пересечения клина с осью  $y$   $\frac{V}{c_0} \gg 1$ , где  $c_0$  — скорость возмущений в жидкости.

Тогда свободная поверхность вне клина будет невозмущена и, кроме того, течение в дифракционной области  $ABCDEF$ , то есть в области влияния вершины, будет мало отличаться от постоянного течения за плоскими ударными волнами  $MC$  и  $MA$ , которое, в свою очередь, мало отличается от одномерного.

**Постановка задачи.** Обозначим через  $U^0$  скорость ударной волны и выбранной системе координат, индексом «0» обозначим параметры исходной невозмущенной жидкости, а индексом «1» — параметры жидкости в области постоянного течения за ударной волной.

Хотя метод решения задачи годится для произвольного магнитного поля, но для получения обозримых значений для параметров ударной волны и аффективного конформного отображения предполагается, что началь-

ное магнитное поле  $B_0$  мало, то есть все параметры за ударной волной ищутся в виде

$$P_1 = P_1' + a_1^2 P_{00}, \quad \rho_1 = \rho_1' + a_1^2 \rho_{00}, \quad g_1 = g_1' + a_1^2 g_{00}, \quad U^* = U_0 + a_1^2 U \quad (1)$$

$$c_1 = c_1' + a_1^2 c_0, \quad \varepsilon = \varepsilon' + a_1^2 \varepsilon_0$$

где

$$a_1^2 = \frac{B_0^2}{4\pi\sigma_0} \quad (\text{малый параметр})$$

Здесь  $U_0$  и  $\varepsilon'$  — скорость и угол наклона ударной волны к клину в обычной газодинамике,  $P_1'$ ,  $\rho_1'$ ,  $g_1'$  удовлетворяют соотношениям, выполняющимся для косоугольного скачка в обычной газодинамике [2].

Разрешая эти соотношения, получаем

$$P_1 = \frac{[(\gamma-1)M-1] \sqrt{(\gamma+1)^2 M^2 + 16} [(3\gamma-1)M+1] \sqrt{(\gamma+1)^2 M^2 + 16}}{16\gamma M^2} \rho_0 V_0^2$$

$$\rho_1 = \frac{(\gamma+1)M-1 \sqrt{(\gamma+1)^2 M^2 + 16}}{(\gamma-3)M+1 \sqrt{(\gamma+1)^2 M^2 + 16}} \rho_0, \quad g_1 = V_0 (\varepsilon + \varepsilon') \quad (2)$$

$$c_1 = \frac{[(\gamma-3)M-1] \sqrt{(\gamma+1)^2 M^2 + 16} [(3\gamma-1)M+1] \sqrt{(\gamma+1)^2 M^2 + 16}}{4M} V_0$$

$$U_0 = \frac{(\gamma-3)M+1 \sqrt{(\gamma+1)^2 M^2 + 16}}{4M} V_0$$

Соотношение  $V_0 \cos \varepsilon = U_0 \cos \varepsilon'$  дает

$$\varepsilon' = \frac{(\gamma-3)M+1 \sqrt{(\gamma+1)^2 M^2 + 16}}{4M} \varepsilon$$

Здесь  $M = \frac{V_0}{c_0}$  — число Маха.

Если пренебречь членами порядка  $a_1^2$ , то  $P_1'$ ,  $\rho_1'$ ,  $c_1'$ ,  $U_0$  не будут зависеть от  $\varepsilon$ .

Подставляя (1) в соотношения, выполняющиеся на поверхностях сильного разрыва в магнитной газодинамике [3] и пренебрегая членами, порядок которых превышает  $a_1^2$ , получаем следующую систему уравнений для определения  $P_{10}$ ,  $\rho_{10}$ ,  $g_{10}$ ,  $U$ ,  $B_{1n}$ ,  $B_{1\tau}$  ( $n$  — внешняя нормаль,  $\tau$  — положительное направление к ударной волне):

1.  $B_{1n} = B_0 (\varepsilon + \varepsilon')$
2.  $\rho_1 U + U_{00} \rho_0 - \rho_0 U = 0 \quad (3)$
3.  $P_{10} + \rho_0 U^2 - \frac{\rho_1'^2 - \rho_0^2}{2\rho_0} = 0$

$$\begin{aligned}
 4. & \{(\gamma_0 - \gamma_1)(UV_0 - 1) - \gamma_0 U_0 V_0\}(\varepsilon + \varepsilon') + \gamma_1 V_0 U_0 \varepsilon = \gamma_1 U_0 g_{00} \\
 5. & B_{11} = \frac{\gamma_1 B_0}{\gamma_0} \\
 6. & \frac{(\gamma_0 - \gamma_1)(1 - UV_0)}{\gamma_0} - \frac{\gamma P_{00}}{(\gamma - 1)\gamma_1} + \frac{\gamma}{\gamma - 1} \frac{P'_{12} \varepsilon_1}{\gamma^2} = 0
 \end{aligned} \quad (3)$$

Линеаризация соотношения  $V_0 \operatorname{cosec} \varepsilon = U^0 \operatorname{cosec} \varepsilon'$  дает

$$\varepsilon_0 = \frac{\varepsilon U}{V_0} \quad (3')$$

Решение системы (3) следующее:

$$\begin{aligned}
 U &= \frac{2M \{ |(\gamma + 1)^2 M^2 + 16 - (\gamma - 1)M| \}}{|(\gamma - 3)M + 1| \sqrt{(\gamma + 1)^2 M^2 + 16} |(\gamma + 1)^2 M^2 - 16| V_0} \\
 \gamma_0 &= \frac{32M^3 \{ |(\gamma + 1)^2 M^2 + 16 - (\gamma - 1)M| \}}{|(\gamma - 3)M + 1| \sqrt{(\gamma + 1)^2 M^2 + 16} |(\gamma + 1)^2 M^2 - 16| V_0^2} \\
 P_{00} &= -\frac{4M \{ (\gamma^2 - \gamma - 2)M^2 + \gamma M |(\gamma + 1)^2 M^2 + 16 - 8| \}}{[(\gamma - 3)M + 1] \sqrt{(\gamma + 1)^2 M^2 + 16} |(\gamma + 1)^2 M^2 - 16|} \varepsilon_0 \\
 g_{00} &= \frac{2M \{ (\gamma - 1)M + 1 \sqrt{(\gamma + 1)^2 M^2 + 16} \} \varepsilon}{|(\gamma - 3)M + 1| \sqrt{(\gamma + 1)^2 M^2 + 16} |(\gamma + 1)^2 M^2 - 16| V_0} \\
 B_{11} &= \frac{(\gamma - 1)M + 1 \sqrt{(\gamma + 1)^2 M^2 + 16}}{4M} B_0 \\
 B_{12} &= \frac{(\gamma + 1)M + 1 \sqrt{(\gamma + 1)^2 M^2 + 16}}{(\gamma - 3)M + 1 \sqrt{(\gamma + 1)^2 M^2 + 16}} B_0
 \end{aligned} \quad (4)$$

Соотношение (3') дает

$$\varepsilon_0 = \frac{2M \{ |(\gamma + 1)^2 M^2 + 16 - (\gamma - 1)M| \} \varepsilon}{|(\gamma - 3)M + 1| \sqrt{(\gamma + 1)^2 M^2 + 16} |(\gamma + 1)^2 M^2 - 16| V_0}$$

Для  $\varepsilon$  имеем

$$\varepsilon = \frac{A}{B}$$

где

$$\begin{aligned}
 A &= 8(\gamma - 1)M^2 \{ |(\gamma + 1)M^2 - \gamma M| \sqrt{(\gamma + 1)^2 M^2 + 16} + 8 \} \\
 B &= |(\gamma - 3)M + 1| \sqrt{(\gamma + 1)^2 M^2 + 16} |(\gamma + 1)M^2 - \\
 &\quad + 1 \sqrt{(\gamma + 1)^2 M^2 + 16}| |(\gamma - 1)M \\
 &\quad + 1 \sqrt{(\gamma + 1)^2 M^2 + 16}| + |(\gamma + 1)^2 M^2 - 16| V_0
 \end{aligned}$$

Как видно из формул (1) и (4), в области постоянного течения за ударной волной  $P_1 < P_0$ , то есть при наличии магнитного поля давление уменьшается.

Определим  $B_{2z}$  и  $B_{1z}$  в области постоянного течения

$$B_{1z} = B_{1z} + B_{1z} (\varepsilon - \varepsilon'), \quad B_{1z} = -B_{1z} (\varepsilon + \varepsilon') + B_{1z}$$

Отсюда имеем

$$B_{1z} = - \frac{(\gamma + 1) M + 1}{(\gamma - 3) M + 1} \frac{\overline{(\gamma + 1)^2 M^2 + 16}}{\overline{(\gamma + 1)^2 M^2 + 16}} B_0$$

$$B_{1z} = \frac{(\gamma + 1) M + 1}{(\gamma - 3) M + 1} \frac{\overline{(\gamma + 1)^2 M^2 + 16}}{\overline{(\gamma + 1)^2 M^2 + 16}} B_0$$

Проекция вектора  $B_1$  на нормаль к клину равна  $B_{1N} = B_{1z} + B_{1y} = 0$ , где  $N$  — нормаль к клину, то есть вектор  $B_1$  за ударной волной параллелен клину.

#### Условия в области неравномерного течения

а) Уравнения движения. В области неравномерного течения всем параметрам будем приписывать значок 2. Вводя конические координаты

$\xi = \frac{x}{c_1 t}$ ,  $\eta = \frac{y}{c_1 t}$  (поля давлений и скоростей зависят только от отношения  $\frac{x}{ct} \cdot \frac{y}{ct}$ ), вариацию давления и магнитного поля

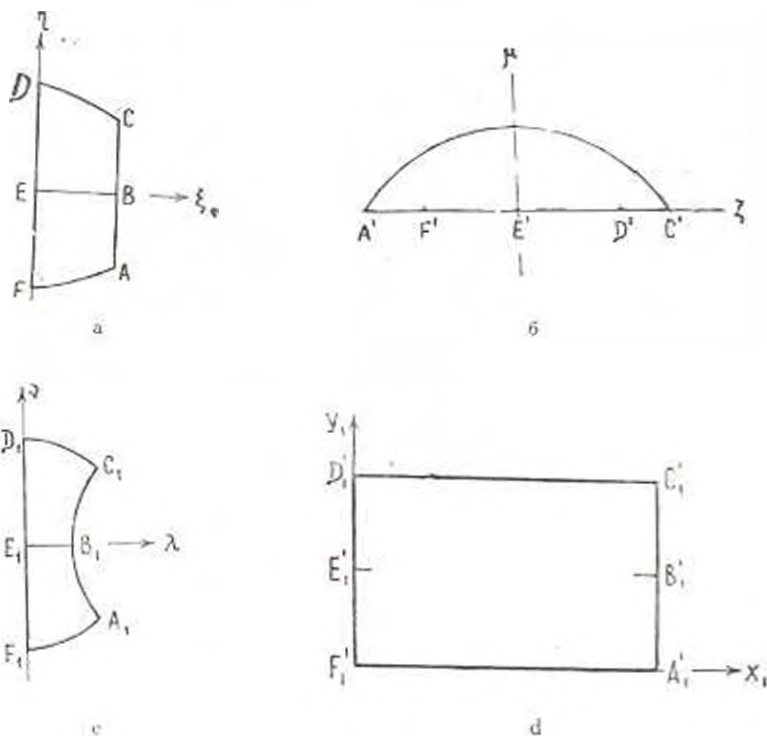
$$p = \frac{P_2 - P_1}{c_1 \partial_1}, \quad b = \frac{B_2 - B_1}{c_1 \partial_1}$$

уравнения плоского нестационарного движения сжимаемой жидкости после их линеаризации можно записать в виде

$$\begin{aligned} \xi \frac{\partial b_1}{\partial \xi} + \eta \frac{\partial b_1}{\partial \eta} &= - \frac{B_1}{c_1 \partial_1} \frac{\partial u}{\partial \xi} \\ \xi \frac{\partial b_2}{\partial \xi} + \eta \frac{\partial b_2}{\partial \eta} &= \frac{B_1}{c_1 \partial_1} \frac{\partial u}{\partial \xi} \\ \xi \frac{\partial u}{\partial \xi} + \eta \frac{\partial u}{\partial \eta} &= \frac{\partial P}{\partial \xi} - \frac{B_1}{4=c_1 \partial_1} \left( \frac{\partial b_1}{\partial \eta} - \frac{\partial b_2}{\partial \xi} \right) \\ \xi \frac{\partial w}{\partial \xi} + \eta \frac{\partial w}{\partial \eta} &= \frac{\partial P}{\partial \eta} \\ \xi \frac{\partial P}{\partial \xi} + \eta \frac{\partial P}{\partial \eta} &= \frac{\partial u}{\partial \xi} + \frac{\partial w}{\partial \eta} \end{aligned} \quad (5)$$

где  $u, \omega$  — составляющие скорости  $\vec{g}_2$  по осям  $\xi, \eta$ . Исключая все величины, кроме  $P$ , получим уравнение 4-го порядка для  $P$ .

6) *Граничные условия.* На плоскости  $\xi, \eta$  область неравномерного течения является область, заключенная между стенкой, скачком и дугами  $DC$  и  $FA$ , представляющими фронт волны возмущения, порожденной малым углом  $\varepsilon$ . Так как на стенке и скачке изменение  $\xi$  по сравнению с изменением  $\eta$  происходит медленно, то обе эти величины можно аппроксимировать прямолинейными отрезками (фиг. 2а). При этом на стенке будем иметь  $\xi = 0$ , на скачке



Фиг. 2

$$\xi = \frac{x}{c_2^2} = \frac{U^*}{c_1} = \frac{U_0}{c_2} + a_1^2 c_1 U = k_{00} + a_1^2 k_1 = \xi \ll 1 \quad (6)$$

где

$$a_1^2 = \frac{a_1^2}{c_1^2}$$

На стенке из условия равенства нулю нормальной составляющей скорости ( $g_{2N} = 0$ ) имеем  $u = u(\xi) = 0$  при  $\xi = 0$  для любого  $\eta$ . Тогда из уравнения (1) системы (5) получаем, что  $b_1$  на стенке равно нулю, то есть из граничного условия  $u = 0$  и уравнений движения вытекает условие  $b_1 = B_{2N} = 0$  на стенке, что позволяет решать задачу для жидкости независимо от задачи определения магнитного поля и кинематики

И наконец, в соответствии с уравнением (3) системы (5) имеем  $\frac{\partial P}{\partial \xi} = 0$  при  $\xi = 0$ . На дугах  $DC$  и  $FA$  функции непрерывны. Следовательно, на этих дугах  $P = 0$ .

Для того, чтобы найти граничное условие на  $ABC$ , запишем уравнение слабо-искривленного фронта в виде

$$\xi = \frac{U^*}{c_1} + \gamma f_1(\eta) = k_0 + \gamma f_1(\eta)$$

Тогда применяя законы сохранения к искривленной части скачка, получаем

$$P = \frac{A'}{B'} (f_1 - \gamma f_1)$$

где

$$A' = U^* (\rho_1 - \rho_0) [4\pi(\gamma - 1)\rho_1 U^{*2} + 8\pi\gamma P_1 - (\gamma - 1)B_1^2] - (\gamma - 1)(4\pi\rho_1 U^{*2} - B_1^2)\gamma V_0$$

$$B' = \rho_1 (B_1^2 + 4\pi\gamma P_1 - 4\pi\rho_1 U^{*2})$$

$$u = \left[ \frac{(\rho_1 - \rho_0)(4\pi\rho_1 U^{*2} - 4\pi\gamma P_1 - B_1^2)}{\rho_1 (B_1^2 + 4\pi\gamma P_1 - 4\pi\rho_1 U^{*2})} - \frac{4\pi U^* V_0 \rho_1 (\gamma - 1)}{(B_1^2 + 4\pi\gamma P_1 - 4\pi\rho_1 U^{*2})} \right] c_1 (f_1 - \gamma f_1) \quad (7)$$

$$b = \frac{4\pi B_1 [(\gamma - 1)(\rho_1 - \rho_0) U^* - \rho_1 V_0 (\gamma - 1)]}{(B_1^2 + 4\pi\gamma P_1 - 4\pi\rho_1 U^{*2}) \rho_1} c_1 (f_1 - \gamma f_1)$$

$$b_0 = \frac{(B_1 - B_0)}{\rho_1} f_1 - \frac{B_1}{\rho_1}$$

$$w = - \left[ V_0 + \frac{B_0^2 - B_0 B_1}{4\pi\rho_1 U^*} \right] f_1$$

Исключая из этих уравнений функцию  $f_1$ , получаем

$$u = D_0 P, \quad \gamma w_1 = E_0 P, \quad b = C_0 P, \quad \gamma \frac{\partial b_0}{\partial \eta} = L_0 \frac{\partial P}{\partial \eta} \quad (8)$$

$$D_0 = \frac{[(\rho_1 - \rho_0)(4\pi\rho_1 U^{*2} + 4\pi\gamma P_1 + B_1^2) - 4\pi\rho_1^2 U^* V_0 (\gamma - 1)] c_1}{U^* (\rho_1 - \rho_0) [4\pi(\gamma - 1)\rho_1 U^{*2} + 8\pi\gamma P_1 - (\gamma - 1)B_1^2] - (\gamma - 1)\rho_1 V_0 (4\pi\rho_1 U^{*2} - B_1^2)} \quad (9)$$

$$C_0 = \frac{4\pi B_1 c_1 \rho_1 [(\gamma - 1)(\rho_1 - \rho_0) U^* - \rho_1 V_0 (\gamma - 1)]}{U^* (\rho_1 - \rho_0) [4\pi(\gamma - 1)\rho_1 U^{*2} + 8\pi\gamma P_1 - (\gamma - 1)B_1^2] - (\gamma - 1)\rho_1 V_0 (4\pi\rho_1 U^{*2} - B_1^2)}$$

$$E_0 = \frac{A''}{B''} \quad (9)$$

где

$$A'' = (4\pi\gamma_1 U^* V_0 + B_0^2 - B_0 B_1) (B_1^2 + 4\pi\gamma_1 P_1 - 4\pi\gamma_1 U^2)$$

$$B'' = 4\pi U^* \{ U^* (\gamma_1 - \gamma_0) [4\pi(\gamma - 1) \gamma_1 U^2 - 8\pi\gamma_1 P_1 - (\gamma - 1) B_1^2] - (\gamma - 1) \gamma_1 V_0 (4\pi\gamma_1 U^2 - B_1^2) \}$$

$$L_0 = \frac{(B_0 - B_1) (B_1^2 + 4\pi\gamma_1 P_1 - 4\pi\gamma_1 U^2) \gamma_1^2}{U^* (\gamma_1 - \gamma_0) [4\pi(\gamma - 1) \gamma_1 U^2 - 8\pi\gamma_1 P_1 - (\gamma - 1) B_1^2] - (\gamma - 1) \gamma_1 V_0 (4\pi\gamma_1 U^2 - B_1^2)}$$

Если положить  $\bar{B} = 0$ , то получим

$$D_0 = \frac{[\gamma (\gamma_1 - \gamma_0) (\gamma_1 U_0^2 - P_1) - (\gamma - 1) \gamma_1^2 U_0 V_0] c_1}{U_0 [(\gamma_1 - \gamma_0) [(\gamma - 1) \gamma_1 U_0^2 + 2\gamma P_1] - (\gamma - 1) \gamma_1^2 U_0 V_0]} \quad (10)$$

$$E_0 = \frac{V_0 \gamma_1 (\gamma P_1 - \gamma_1 U_0^2)}{U_0 [(\gamma_1 - \gamma_0) [(\gamma - 1) \gamma_1 U_0^2 + 2\gamma P_1] - (\gamma - 1) \gamma_1^2 U_0 V_0]}$$

$$C_0 = 0, \quad L_0 = 0$$

Условия (8) в силу линейности задачи, считаем выполняющимися на прямой  $\bar{x} = k_0$ .

При помощи уравнений движения из уравнений (8) можно исключить  $u$ ,  $w$ ,  $b$ ,  $b_n$ , что даст условие из скачке для  $P$ .

$$\frac{\partial P / \partial z}{\partial P / \partial z} = \frac{\left( D_0 - k_0 \frac{C_0}{4 - k_0} - \frac{N^2}{4\pi k_0} \right) \gamma - \left( E_0 k_0 - \frac{E_1}{4\pi k_0} - \frac{L_1}{4\pi} \right) \gamma^{-1}}{1 - k_0^2 + \frac{N^2}{4\pi}} \quad (11)$$

где

$$N = \frac{B_1}{c_1^2}, \quad C_0 = NC_0, \quad L_0 = NL_0, \quad E_0 = N^2 E_0$$

Дополнительно к (11) берется условие

$$\int \frac{E_0}{\gamma} P_1 d\tau = \int \frac{\partial w}{\partial \tau} d\tau = g_1 \quad (12)$$

заключающееся в том, что изменение  $w$  вдоль ударной волны от центра до вершины равно (12).

#### Решение граничной задачи

К линеаризованным уравнениям магнитной газодинамики применим метод Смирнова—Соболева [4], то есть давление  $P$  ищем как действительную часть аналитической функции

$$P = \operatorname{Re} \beta(z)$$

где  $\alpha$  определяется равенством

$$z\gamma + \beta(z)\bar{z} = 1 \quad (13)$$

причем  $P$  удовлетворяет уравнению Лапласа

$$\frac{\partial^2 P}{\partial \xi^2} + \frac{\partial^2 P}{\partial \eta^2} = 0$$

где  $\frac{1}{z} = \xi + i\eta$ , а  $\beta(z)$  есть решение дисперсионного уравнения магнитной гидродинамики

$$\beta(z) = \sqrt{\frac{(1 - a_1^2 z^2)(1 - z^2)}{(1 - a_1^2 z^2 + a_1^2 z^4)}}$$

Так как рассматривается слабое магнитное поле, то разлагая функцию  $\beta(\alpha)$  в ряд по малому параметру  $a_1^2$ , подставляя в (13) и отделяя действительную и мнимую части  $\frac{1}{z}$ , получаем

$$\xi = \frac{\eta}{1 - \xi^2}, \quad \eta = \frac{\xi \sqrt{1 - \xi^2 - \eta^2}}{1 - \xi^2}, \quad \xi = \xi \left(1 - \frac{a_1^2}{2}\right) \quad (14)$$

Это разложение верно всюду, кроме окрестности точек  $z = \frac{1}{a_1}$ ,  $z = \frac{1}{a_1} \sqrt{1 - a_1^2}$ . В статье это разложение используется только вблизи ударной волны.

В результате преобразования (14) область неоднородного течения в плоскости  $\xi, \eta$  переходит в область  $A'B'C'D'E'F'$  из плоскости  $\bar{z}, z$ , ограниченную отрезком  $A'C'$  действительной оси  $\bar{z}$  и эллипсом  $A'B'C$  (фиг. 26).

Координаты точек  $C'$  и  $A'$  следующие:

$$C' \left( \frac{1}{k_0} - \frac{a_1^2 k_0^2}{2k_0^3}, 0 \right), \quad k_0 = \sqrt{1 - k_0^2}$$

$$A' \left[ - \left( \frac{1}{k_0} - \frac{a_1^2 k_0^2}{2k_0^3} \right), 0 \right]$$

Уравнение кривой  $A'B'C'$

$$\frac{\eta^2}{k_0^2} + \frac{\xi^2}{k_1^2} = 1 \quad (15)$$

где

$$k_0 = k_0 \left(1 - \frac{a_1^2}{2}\right), \quad k_1 = \sqrt{1 - k_0^2}$$

Теперь применим конформное преобразование

$$K = \frac{2i\omega}{1 - \omega^2} \quad (16)$$

где  $K = \lambda + i\mu$ . Далее можно ввести плоскость  $z = \omega$ , примем  $z = \lambda + i\mu$ , и по переменным  $\lambda, \mu$  снова удовлетворит уравнению Лапласа.

Это свойство сохраняется в дальнейших конформных преобразованиях. Когда магнитное поле отсутствует,  $z$  представляет собой плоскость Буземана [5].

В результате преобразования (16) на плоскости  $\lambda, \mu$  получаем область  $A_1 B_1 C_1 D_1 E_1 F_1$ , ограниченную отрезком мнимой оси  $D_1 E_1 F_1$ , где  $\lambda \in (-1, 1)$ , дугами  $D_1 C_1$  и  $F_1 A_1$  единичной окружности  $\lambda^2 + \mu^2 = 1$  и дугой окружности (фиг. 2с)

$$2\lambda = k_0'(1 - \lambda^2 - \mu^2) \quad (17)$$

Вблизи ударной волны связь между плоскостями  $z_1, z_2$   $z_1 - z_2 = i\gamma e^{i\theta}$  можно взять такой же, как в обычной газодинамике [5]

$$\xi = \frac{2\gamma \cos \theta}{1 - \gamma^2}, \quad \eta = \frac{2\gamma \sin \theta}{1 - \gamma^2} \quad (18)$$

$$\left( r = \frac{2\gamma}{1 + \gamma^2} = \sqrt{\xi^2 + \eta^2}, \quad \theta = \arctg \frac{\eta}{\xi} \right)$$

Для преобразования краевого условия на слабонесжимаемом фронте к переменным  $\rho, \theta$  нужно провести ряд элементарных выкладок, опуская которые условие (11) в плоскости  $\rho, \theta$  можно записать в виде ( $n$  — внешняя нормаль,  $s$  — положительное касательное направление).

$$\frac{\partial P}{\partial \rho} \frac{\partial n}{\partial s} \frac{\left[ A_0(1 - k^{*2})k_0 - \left(1 - k_0^2 - \frac{N^2}{2\pi}\right)k_0' \right] \operatorname{tg} \theta - B_0(1 - k_0'^2) \frac{\operatorname{ctg} \theta}{k_0}}{\left(1 - k^2 - \frac{N^2}{4\pi}\right)(1 - k_0'^2 \sec^2 \theta)^2} \quad (19)$$

где

$$A_0 = D_0 = k_0 = \frac{C_0}{4\pi k_0} = \frac{N^2}{4\pi k_0}, \quad B_0 = E_0 k_0 = \frac{E_0}{4\pi k_0} = \frac{L_0}{4\pi} \quad (20)$$

$$k_0' = k_0' = \frac{a_1^2 k_0^2}{4k_0}$$

На стенке  $\left(\theta = \frac{\pi}{2}\right) \frac{\partial P}{\partial n} = 0$ , на дугах  $s = 1, P = 0$ . Полученная задача по математической постановке аналогична [5], поэтому используем метод, изложенный в [5].

Применяем дополнительное конформное преобразование

$$z_1 = \ln \left( \frac{1+z}{1-z} \right) + \frac{1}{2} \pi i \quad (21)$$

где  $z = \gamma e^{i\theta}$

отображающее возмущенную область на прямоугольник (фиг. 2d)

$$0 < x_1 < x_0 \quad 0 < y_1 < \pi$$

где

$$x = \frac{1}{2} \ln \frac{1+k_0}{1-k_0} = \text{const}$$

С учетом того, что на дуге окружности (17)

$$\operatorname{tg} \theta = \frac{\sqrt{1-k_0^2} \cos y_1}{k_0} = \frac{k_0'}{k_0} \cos y_1$$

получаем граничное условие в плоскости  $z_0$  на правой вертикальной стороне прямоугольника  $A_1 B_1 C_1$

$$\begin{aligned} -\frac{\partial P}{\partial x_1} \sin y_1 \cos y_1 &= \frac{\partial P}{\partial y_1} \left\{ \left[ \frac{k_0 (1-k_0'^2)}{k_0' (k_0'^2 + \frac{N^2}{4\pi})} - k_0 \right] \cos^2 y_1 - \right. \\ &\left. - B_0 \frac{k_0 (1-k_0'^2)}{k_0 k_0'^2 (k_0'^2 - \frac{N^2}{4\pi})} \right\} \end{aligned} \quad (22)$$

На левой вертикальной стороне прямоугольника  $\frac{\partial P}{\partial x_1} = 0$ , на горизонтальных сторонах  $D_1 C_1$  и  $F_1 A_1 P = 0$ .

Надо найти аналитическую функцию  $w^*(z_1) = \frac{\partial P}{\partial x_1} - i \frac{\partial P}{\partial y_1}$ , которая имеет чисто мнимые значения на трех сторонах прямоугольника, а на четвертой стороне  $x_1 = x$  обращается в заданную функцию  $g_1$ .

Решение окончательно находится в виде [5]

$$w^*(z_1) = iK_0 \frac{\theta_1(i - i_1)}{\theta_1(i - iz_1)} W(z_1) \quad (23)$$

где  $K_0$  — нормирующий множитель,  $\theta_1, \theta_1'$  — тета-функции и

$$W(z_1) = \exp \left\{ -\sum_n (2 - a^n - b^n) n^{-1} e \operatorname{sch} 2nz \operatorname{sch} 2nz_1 \right\}$$

$a$  и  $b$  — заданные функции  $M$

$$a = \frac{\alpha^2 - 1}{\alpha^2 + 1}, \quad b = \frac{\beta^2 - 1}{\beta^2 + 1}$$

где  $\alpha^2$  и  $\beta^2$  удовлетворяют равенствам

$$\frac{1}{z^2 - \beta^2} = A_0 \frac{k_0(1 - k_0'^2)}{k_0 \left( k_0'^2 + \frac{N^2}{4\pi} \right)} - k_0' B_0 \frac{k_0'(1 - k_0'^2)}{k_0 k_0'^2 \left( k_0'^2 + \frac{N^2}{4\pi} \right)} \quad (24)$$

$$\frac{z^2 \beta^2}{1 - \beta^2} = B_0 \frac{k_0'(1 - k_0'^2)}{k_0 k_0'^2 \left( k_0'^2 + \frac{N^2}{4\pi} \right)}$$

Из (23) для распределения давления на стенке имеем

$$\left( \frac{\partial P}{\partial y_2} \right)_{y_2=0} = -K_0 \frac{\xi_0(y_1)}{u_1(y_1)} W'(iy_1)$$

По формулам

$$\frac{\xi_0}{V_0} = \bar{g}_1 = \bar{g}_1 + \bar{a}_1^2 \bar{g}_{00}, \quad \frac{P_1}{\rho_0 V_0^2} = \bar{P}_1 = \bar{P}_1 + \bar{a}_1^2 \bar{P}_{00}$$

$$\frac{\rho_1}{\rho_0} = \bar{\rho}_1 = \bar{\rho}_1 + \bar{a}_1^2 \bar{\rho}_{00}, \quad \frac{c_1}{V_0} = \bar{c}_1 = \bar{c}_1 + \bar{a}_1^2 \bar{c}_1, \quad \frac{B_1}{B_0} = \bar{B}_1 = \bar{g}_1$$

где

$$\bar{a}_1^2 = \frac{a_1^2}{V_0^2}$$

вычислены значения безразмерных параметров, характеризующих ударную волну для значений числа Маха  $M = 1.5; 3; a_1 = 0.1; 0.01 M$ .

Кроме того, подсчитано значение

$$K_0 : V_0^2 = \frac{(\bar{g}_1 + \bar{a}_1^2 \bar{g}_{00}) k_0 k_0'}{\kappa E_0 \int_0^{\frac{\pi}{2}} \frac{k_0(y_1)}{u_1(y_1)} |W'| \frac{(z^2 - \beta^2) \sin y_1 dy_1}{1 - \beta^2 \sin^2 y_1 - \cos^2 y_1 + \beta^2 \sin^2 y_1 - \cos^2 y_1}}$$

и численно давление  $\bar{P}$  на стенке

$$\bar{P} = \frac{P_1 - P_2}{z(P_1 - P_0)}$$

Результаты расчетов приведены в таблице.

Таблица

|                                      | $M=1.5$<br>$\alpha_1=0.1$ | $M=1.5$<br>$\alpha_1=0.01$ | $M=3$<br>$\alpha_1=0.1$ | $M=3$<br>$\alpha_1=0.01$ |
|--------------------------------------|---------------------------|----------------------------|-------------------------|--------------------------|
| $\bar{P}_1$                          | 1.48572118                | 1.49679642                 | 1.26637198              | 1.28617529               |
| $\bar{P}_1$                          | 2.97623610                | 3.01208180                 | 4.31004399              | 4.49310199               |
| $\bar{P}_1$                          | 1.78293484                | 1.81405425                 | 1.28476950              | 1.36493068               |
| $\bar{P}_1$                          | 0.91582752                | 0.91823908                 | 0.64529521              | 0.65236587               |
| $K_1 \cdot V_0$                      | 0.20312864                | 0.21135715                 | 0.10189070              | 0.11604402               |
| $\bar{P}\left(\frac{\pi}{6}\right)$  | 0.26071675                | 0.28119263                 | 0.18550328              | 0.2649654                |
| $\bar{P}\left(\frac{\pi}{3}\right)$  | 0.47341359                | 0.50356436                 | 0.32132316              | 0.4293633                |
| $\bar{P}\left(\frac{\pi}{2}\right)$  | 0.34923252                | 0.37991294                 | 0.36733156              | 0.47308742               |
| $\bar{P}\left(\frac{2}{3}\pi\right)$ | 0.47341359                | 0.50356436                 | 0.32132316              | 0.4293633                |
| $\bar{P}\left(\frac{5}{6}\pi\right)$ | 0.26071675                | 0.28119263                 | 0.18550328              | 0.2649654                |
| $\bar{P}(\pi)$                       | 0                         | 0                          | 0                       | 0                        |
| $B_1$                                | 3.0124438                 | 3.0124438                  | 4.49192076              | 4.49192076               |

Расчеты были проведены в вычислительном отделе института механики АН Арм.ССР Г. А. Саркисяном, которому авторы выражают свою благодарность.

Ереванский государственный университет  
Институт механики АН  
Армянской ССР

Получила 11 V 1975

Վ. Ք. ԱՂԱՏՅԱՆ, Ս. Ք. ԲԱԳՅԱՆ

ՄԱՊԻ ԿՆԵՐՔԱԲՈՒՆՑՈՒՄԻՐԸ ԷԼԵՏՐՈՎՈԴՈՎԱԿԱՆ ՉԵԿՈՒՄԻ ԿՆՁ  
ՄԱՊԻՆՈՒՄԿԱՆ ԳԱՇՏԻ ԱՌԿԱՅՈՒԹՅԱՆՐԸ

Ա ռ Վ ի ո Վ ո Վ ռ

Գիտարկվում է բույժ սեպի ներթափանցման խնդիրը ազատ մակերևույթ ունեցող սեղմելի հեղուկի մեջ ուժեղ հարվածային ալիքի և հեղուկի ազատ մակերևույթին դուրսիև սկզբնական մաղնիսական դաշտի առկայության դեպքում: Երբ սկզբնական մաղնիսական դաշտը դուրսիև հեղուկի շրջագծած մակերևույթին մաղնիսական դաշտի ուժազտերը չեն թափանցում սեպի մեջ և այդ պատճառով խնդիրը կարելի է լուծել անկախ սեպի մեջի դաշտից:

Որոշված են հնդոսկի պարամետրերը հարվածային ալիքի ետևում: Եզրափն խնդիրը անալիտիկ ֆունկցիայի համար անհավասարաչափ հասանքի տիրույթում լուծված է կաշիխիլի մեթոդով: Որոշված է ճնշման բաշխումը սեպի վրա և կատարված են թվային հաշվարկներ:

## PENETRATION OF A WEDGE INTO AN ELECTROCONDUCTING FLUID IN THE PRESENCE OF A MAGNETIC FIELD

L. D. AZATIAN, A. G. BAGDOEV

### S u m m a r y

The problem of penetration of a blunt wedge into a compressible fluid with a free surface for the case of a strong shock wave and the original magnetic field parallel to the free surface of the fluid is considered.

When the initial magnetic field is parallel to the undisturbed surface of fluid, the line of magnetic force does not pass into the wedge and so the problem may be solved independently of the field within the wedge.

Parameters of field in the region behind the shock wave are determined.

In the region of non-uniform flow the boundary-value problem for analytical functions (pressure) is solved by the Lighthill method.

The pressure distribution at the wedge is determined and numerical calculation is presented.

### ЛИТЕРАТУРА

1. Манасян М. М. Проникновение тела в полупространство сжимаемой жидкости при наличии магнитного поля. Известия АН Арм.ССР, Механика, т. XXV, № 3, 1972.
2. Хейлм Г. и Фридрихс К. Сверхзвуковое течение и ударные волны. Изд. ИЛ, М., 1950.
3. Куликовская А. Г. и Любимова Г. А. Магнитная гидродинамика. Государств. изд. физико-математ. литературы, М., 1962.
4. Багдоев А. Г. Некоторые нелинейные задачи о движении сжимаемой жидкости. Изд. АН Арм.ССР, Ереван, 1967.
5. M. J. Lighthill, The diffraction of blast, II. Proc. Roy. Soc., 1950, A, 200, 554-565.

А. В. ВАРДАНИН

## МАГНИТОУПРУГИЕ КОЛЕБАНИЯ ДВУХ ПАРАЛЛЕЛЬНЫХ ТОКОНЕСУЩИХ ПЛАСТИН

На основе гипотез магнитоупругости, предложенных в работах [1, 2], выводятся уравнения магнитоупругих колебаний двух параллельных пластин, служащих проводниками равномерно распределенного электрического тока. Исследуется влияние физических параметров задачи на частоты колебаний.

1. Пусть две упругие бесконечные пластинки, каждая толщиной  $2h$ , расположены параллельно друг другу.

Прямоугольная система координат  $(x, y, z)$  выбрана так, что плоскость  $(x, y)$  параллельна пластинкам и находится между ними на расстоянии  $a$  от срединной плоскости каждой пластинки.

Пластинки служат проводниками равномерно распределенного электрического тока, параллельного срединным плоскостям пластин.

Направления электрических токов в пластинках взаимно перпендикулярны. Ось  $x$  выбирается по направлению электрического тока в одной из пластин. Тогда ток в другой пластинке направляет либо по оси  $y$ , либо противоположно ей.

Магнитная и диэлектрическая проницаемости сред, окружающих пластинки, равны единице.

Упругие и электромагнитные свойства пластины предполагаются одинаковыми и характеризуются: жесткостью  $D$ , плотностью  $\rho$ , электропроводностью  $\sigma$ , магнитной проницаемостью  $\mu$ , диэлектрической проницаемостью  $\epsilon$ .

Обозначая напряженности электрического поля, обусловленные токами плотности  $J_1$  и  $J_2$  в пластинках, через  $E_1$  и  $E_2$  и решая соответствующую задачу магнитоэластики, найдем напряженности магнитного поля

$$\begin{aligned}
 H_x &= \begin{cases} 4\pi hc^{-1} E_2 & \text{при } z = a - h \\ 4\pi z(z - a)c^{-1} E_1 & \text{при } a - h \leq z \leq a + h \\ -4\pi hzc^{-1} E_1 & \text{при } z \geq a + h \end{cases} \\
 H_y &= \begin{cases} -4\pi zhc^{-1} E_2 & \text{при } z = a - h \\ -4\pi zc^{-1}(z + a) E_2 & \text{при } -a - h \leq z \leq -a + h \\ 4\pi hzc^{-1} E_2 & \text{при } z \leq -a - h \end{cases}
 \end{aligned} \quad (1.1)$$

При движении пластин возникает индуцированное электромагнитное поле, которое будет описываться уравнениями электродинамики движущихся

ся проводящих сред для областей, занимаемых пластинами, и уравнениями электродинамики для вакуума в остальных областях. Указанные уравнения необходимо решать совместно с уравнениями движения пластин при общих граничных условиях на движущихся поверхностях пластин.

Линейные уравнения электродинамики принимаются при ограничениях работы [3], что, в частности, исключает материалы из сегнетоэлектриков, ферромагнетиков и сверхпроводников.

Уравнения электродинамики для областей, занимаемых пластинами

$$a - h \leq z \leq a + h \quad (s = 1) \quad \text{и} \quad -a - h \leq z \leq -a + h \quad (s = 2)$$

$$\frac{\partial h_{zs}}{\partial y} - \frac{\partial h_{ys}}{\partial z} = \frac{4\pi\sigma}{c} \left( e_{xs} - \frac{\mu}{c} H_{0ys} \frac{\partial u_{zs}}{\partial t} \right)$$

$$\frac{\partial h_{xs}}{\partial z} - \frac{\partial h_{zs}}{\partial x} = \frac{4\pi\sigma}{c} \left( e_{ys} + \frac{\mu}{c} H_{0xs} \frac{\partial u_{zs}}{\partial t} \right)$$

$$\frac{\partial h_{ys}}{\partial x} - \frac{\partial h_{xs}}{\partial y} = \frac{4\pi\sigma}{c} \left[ e_{zs} + \frac{\mu}{c} \left( H_{0ys} \frac{\partial u_{xs}}{\partial t} - H_{0xs} \frac{\partial u_{ys}}{\partial t} \right) \right]$$

$$\frac{\partial e_{zs}}{\partial y} - \frac{\partial e_{ys}}{\partial z} = -\frac{\mu}{c} \frac{\partial h_{xs}}{\partial t}$$

$$\frac{\partial e_{xs}}{\partial z} - \frac{\partial e_{zs}}{\partial x} = -\frac{\mu}{c} \frac{\partial h_{ys}}{\partial t}$$

$$\frac{\partial e_{ys}}{\partial x} - \frac{\partial e_{xs}}{\partial y} = -\frac{\mu}{c} \frac{\partial h_{zs}}{\partial t}$$

$$\frac{\partial h_{xs}}{\partial x} + \frac{\partial h_{ys}}{\partial y} + \frac{\partial h_{zs}}{\partial z} = \frac{\varepsilon\mu - 1}{\mu c} \left( E_{0ys} \frac{\partial^2 u_{zs}}{\partial x \partial t} - E_{0xs} \frac{\partial^2 u_{zs}}{\partial y \partial t} \right) = 0$$

$$\frac{\partial e_{xs}}{\partial x} + \frac{\partial e_{ys}}{\partial y} + \frac{\partial e_{zs}}{\partial z} = \frac{\varepsilon\mu - 1}{\mu c} \left( H_{0xs} \frac{\partial^2 u_{zs}}{\partial y \partial t} - H_{0ys} \frac{\partial^2 u_{zs}}{\partial x \partial t} \right) = -\frac{4\pi}{\varepsilon} \rho_s$$

$$(s = 1, 2)$$

Уравнения электродинамики для вакуума —

$$\operatorname{rot} \vec{h}_s = \frac{1}{c} \frac{\partial \vec{e}_s}{\partial t}, \quad \operatorname{rot} \vec{e}_s = -\frac{1}{c} \frac{\partial \vec{h}_s}{\partial t} \quad (1.3)$$

$$\operatorname{div} \vec{h}_s = 0, \quad \operatorname{div} \vec{e}_s = 0, \quad (s = 3, 4, 5)$$

Здесь  $\vec{h}_s (h_{xs}, h_{ys}, h_{zs})$ ,  $\vec{e}_s (e_{xs}, e_{ys}, e_{zs})$  — векторы напряженностей индуцированного магнитного и электрического полей,  $\rho_s$  — плотность электрических зарядов,  $\vec{u}_s (u_{xs}, u_{ys}, u_{zs})$  — вектор перемещения частиц пластины,  $s = 3$  показывает принадлежность к области  $|z| \leq a - h$ ,  $s = 4$  — к области  $z \geq a + h$ ,  $s = 5$  — к области  $z \leq -a - h$ .

Объемные силы электромагнитного происхождения определяются в данной задаче по формулам

$$\Gamma_{zs} = \frac{\mu_0}{c} \left\{ B_s h_{zs} - \left[ e_{zs} + \frac{\mu}{c} \left( H_{0ys} \frac{\partial u_{rs}}{\partial t} - H_{0xs} \frac{\partial u_{ys}}{\partial t} \right) \right] H_{0ys} \right\} - \gamma_s C_s \quad (1.4)$$

$$\Gamma_{ys} = \frac{\mu_0}{c} \left\{ \left[ e_{zs} + \frac{\mu}{c} \left( H_{0ys} \frac{\partial u_{rs}}{\partial t} - H_{0xs} \frac{\partial u_{ys}}{\partial t} \right) \right] H_{0xs} - C_s h_{zs} \right\} - \gamma_s B_s$$

где

$$B_1 = E_1, \quad B_2 = 0, \quad C_1 = 0, \quad C_2 = E_2, \quad (s = 1, 2)$$

$$\Gamma_{z1} = \frac{\mu_0}{c} \left\{ H_{0y1} \left( e_{z1} - \frac{\mu}{c} \frac{\partial u_{z1}}{\partial t} H_{0y1} \right) - H_{0x1} \left( E_1 + e_{y1} + \right. \right. \\ \left. \left. + \frac{\mu}{c} \frac{\partial u_{z1}}{\partial t} H_{0x1} \right) - E_1 h_{z1} \right\}$$

$$\Gamma_{z2} = \frac{\mu_0}{c} \left\{ H_{0y2} \left( E_2 + e_{z2} - \frac{\mu}{c} \frac{\partial u_{z2}}{\partial t} H_{0y2} \right) - H_{0x2} \left( e_{y2} + \right. \right. \\ \left. \left. - \frac{\mu}{c} \frac{\partial u_{z2}}{\partial t} H_{0x2} \right) - E_2 h_{y2} \right\}$$

Уравнения (1.2) и (1.3) рассматриваются совместно с уравнениями движения пластин, учитывающими силы и моменты, обусловленные объемными силами (1.4).

2. В приведенной постановке решение задач магнитоупругости представляет значительные трудности. Использование гипотез магнитоупругости, предложенных и обоснованных в работах [1, 2], позволяет преодолеть эти трудности. Гипотезы магнитоупругости для данной задачи аналитически записываются следующим образом:

$$u_{zs} = -[z - (-1)^s a] \frac{\partial v_s}{\partial x}, \quad u_{ys} = -[z - (-1)^s a] \frac{\partial v_s}{\partial y}$$

$$e_{zs} = \varepsilon_s(x, y, t), \quad e_{ys} = \tau_s(x, y, t), \quad e_{xs} = \gamma_s(x, y, t) \quad (2.1)$$

$$h_{zs} = f_s(x, y, t), \quad (s = 1, 2)$$

Остальные компоненты индуцированного электромагнитного поля определяются из уравнений (1.2) через функции  $\varepsilon_s$ ,  $\tau_s$ ,  $f_s$ , ...,  $h_{zs}$ ,  $h_{ys}$ ,  $h_{xs}$  в следующем виде:

$$h_{zs} = \frac{h_{zs}^+ + h_{zs}^-}{2} + [z - (-1)^s a] \left( \frac{\partial f_s}{\partial x} - \frac{4\pi z}{c} \tau_s \right) + \\ + \frac{(-1)^{s-1}}{2^{2-s}} \left( \frac{4\pi z}{c} \right)^s \frac{\mu}{c} E_1 [z - (-1)^s a]^s h^{s-1} - \frac{h^s}{2} [1 - (-1)^s] \frac{\partial v_s}{\partial t} \quad (2.2)$$

$$\begin{aligned}
 h_{ys} &= \frac{h_{ys}^+ + h_{ys}^-}{2} + [z + (-1)^s a] \left( \frac{\partial f_s}{\partial y} - \frac{4\pi z}{c} \varphi_s \right) - \\
 &- \frac{1}{2^{s-1}} \left( \frac{4\pi z}{c} \right)^2 \frac{\mu}{c} E_s \left\{ [z + (-1)^s a]^2 h^{2s-2} - \frac{h^2}{2} [1 + (-1)^s] \right\} \frac{\partial \omega_s}{\partial t} \\
 e_{zs} &= \frac{cM_s}{4\pi z} - \frac{4\pi z \mu}{c^2} \left\{ h E_s \frac{3^{s-1} [z + (-1)^s a]^2 - \frac{h^2}{2} [1 + (-1)^s]}{2^{s-2}} \frac{\partial \omega_s}{\partial x \partial t} - \right. \\
 &- E_s \frac{(-1)^s 3^{s-1} [z + (-1)^s a]^{3-s} - \frac{h^2}{2} [1 - (-1)^s]}{2^{s-1}} \frac{\partial \omega_s}{\partial y \partial t} \left. \right\} - \\
 &- [z + (-1)^s a] \left( \frac{\partial \varphi_s}{\partial x} + \frac{\partial \varphi_s}{\partial y} \right)
 \end{aligned} \quad (2.2)$$

$h_{ys}^+, h_{ys}^-, h_{qs}, h_{ys}^-$  — значения компонентов  $h_{ys}, h_{ys}$  при  $z = (a - h)(-1)^{s+1}$  соответственно;

$$M_s = \frac{\partial}{\partial x} \left( \frac{h_{ys} - h_{ys}^-}{2} \right) - \frac{\partial}{\partial y} \left( \frac{h_{ys} - h_{ys}^-}{2} \right)$$

Определяя уравнения (1.2) по  $z$  так, как это делается в работах [1, 2], и присоединяя уравнения движения пластин, получим следующие уравнения, определяющие неизвестные функции  $\varphi_s, \varphi_s, f_s, \omega_s$ .

$$\begin{aligned}
 \frac{\partial f_s}{\partial y} - \frac{4\pi z}{c} \varphi_s &= (-1)^{s+1} \frac{h_{ys} - h_{ys}^-}{2h} + \left( \frac{4\pi z}{c} \right)^2 \frac{h\mu}{c} G_s \frac{\partial \omega_s}{\partial t} \\
 \frac{\partial f_s}{\partial x} + \frac{4\pi z}{c} \varphi_s &= (-1)^{s-1} \frac{h_{ys} - h_{ys}^-}{2h} + \left( \frac{4\pi z}{c} \right)^2 \frac{h\mu}{c} G_s \frac{\partial \omega_s}{\partial t} \\
 \frac{\partial \varphi_s}{\partial x} - \frac{\partial \varphi_s}{\partial y} &= -\frac{\mu}{c} \frac{\partial f_s}{\partial t}, \quad G_1 = E_s, \quad G_2 = 0, \quad G_3 = 0, \quad G_4 = E_s \\
 D\Delta^2 \omega_s - 2\mu h \frac{\partial^2 \omega_s}{\partial t^2} &= R_s + \frac{\partial m_{ys}}{\partial x} + \frac{\partial m_{qs}}{\partial y}, \quad (s = 1, 2)
 \end{aligned} \quad (2.3)$$

Здесь  $R_s, m_{ys}, m_{qs}$  — нормальная сила и моменты, обусловленные объемными силами электромагнитного происхождения (1.4), в рассматриваемом случае определяются по формулам

$$\begin{aligned}
 R_{zs} &= \frac{2(-1)^s \mu z h}{c} \left| \frac{h_{ys}^+ + h_{ys}^-}{2} E_s - \frac{(-1)^s 4\pi z h}{c} A_s \left[ \frac{1 + (-1)^s}{2} \varphi_s + \right. \right. \\
 &\left. \left. + \frac{1 - (-1)^s}{2} \varphi_s - \frac{4\pi \mu z h}{c^2} A_s \frac{\partial \omega_s}{\partial t} \right] \right|
 \end{aligned} \quad (2.4)$$

$$\begin{aligned}
 m_{x,s} &= -\frac{8\pi z^2 \mu h^4}{3c^2} A_s \left( \frac{\partial^2 \varphi_s}{\partial x^2} + \frac{\partial^2 \varphi_s}{\partial y^2} + \frac{4\pi z h \mu}{c^2} A_s \frac{\partial^2 \omega_s}{\partial x \partial t} \right) \\
 m_{y,s} &= \frac{8\pi z^2 \mu h^4}{3c^2} E_s \left( \frac{c M_s}{4\pi c} + \frac{4\pi z \mu h^2}{5c^2} E_s \frac{\partial^2 \omega_s}{\partial y \partial t} \right) + \frac{z h}{4\pi} (e_{zs}^+ - e_{zs}^-) E_s - \frac{M_s 2h z c}{(4\pi)^2 z} E_s + \frac{z(c\mu - 1)}{c^2} E_s^2 \frac{2}{3} h^3
 \end{aligned} \quad (2.4)$$

$$A_1 = E_y, \quad A_2 = -E_1, \quad (x_1 = x, \quad x_2 = y), \quad (y_1 = y, \quad y_2 = x), \quad (s = 1, 2)$$

Уравнение (2.3) необходимо решать совместно с уравнениями (1.3) при общих граничных условиях на поверхностях раздела сред  $z = a + h$ ,  $a - h$ ,  $-a + h$ ,  $-a - h$ . На поверхности раздела  $z = a - h$  эти условия согласно работе [3] имеют вид

$$h_{z1} = h_{z3}, \quad h_{y1} = h_{y3}$$

$$h_{z1} = \frac{1}{\mu} h_{z3} \quad (\mu - 1) \frac{4\pi z h}{c} E_1 \frac{\partial \omega_1}{\partial x} - (\mu - 1) \frac{4\pi z h}{c} E_2 \frac{\partial \omega_1}{\partial y} \quad (2.5)$$

$$e_{z1} = e_{z3} - \frac{\mu(\mu - 1) 4\pi h z}{c^2} E_2 \frac{\partial \omega_1}{\partial t}, \quad e_{y1} = e_{y3} + \frac{\mu(\mu - 1) 4\pi h z}{c^2} E_1 \frac{\partial \omega_1}{\partial t}$$

$$e_{z1} = \frac{1}{\mu} e_{z3} + E_1 \frac{\partial \omega_1}{\partial y}$$

Аналогичным образом записываются граничные условия на остальных поверхностях раздела.

3. Рассмотрим задачу колебаний двух параллельных токонесящих пластин в случае, когда  $\epsilon = \mu = 1$ . Представляя решения (2.3) и (1.3) в виде

$$Q_s = Q_s \exp i(\omega t - k_x x - k_y y), \quad Q_{10} = \text{const}, \quad (s = 1, 2) \quad (3.1)$$

$$Q_s = Q_{s0}(z) \exp i(\omega t - k_x x - k_y y), \quad (s = 3, 4, 5)$$

где  $Q_s$  — любая из искоемых функций, входящих в уравнения (2.3) и (1.3), получим обыкновенные дифференциальные уравнения относительно  $Q_{s0}(z)$  ( $s = 3, 4, 5$ ). Решая эти уравнения и удовлетворяя граничным условиям на поверхностях раздела типа (2.5) и условиям затухания на бесконечности, после преобразований получим следующую систему уравнений относительно амплитуд прогибов колебаний  $\omega_{10}$  и  $\omega_{20}$ :

$$\begin{aligned}
 \left\{ \Omega^2 + \left[ \alpha_2 \beta_0 E_1 E_2 + (\alpha_1 \alpha_2 + \alpha_3) E_1^2 \frac{\alpha_2 k_1^2 h^2}{15} E_1^2 \right] \Omega + 1 + \lambda_1 E_1^2 \right\} \omega_{10} + \\
 + (\alpha_2 \alpha_4 E_1^2 + \alpha_1 \alpha_4 E_1 E_2) \Omega \omega_{20} = 0
 \end{aligned} \quad (3.2)$$

$$(\alpha_2 \alpha_2 E_2^2 + \alpha_1 \alpha_2 E_1 E_2) \Omega \omega_{10} +$$

$$+ \left\{ \Omega^2 + \left[ \alpha_2 \alpha_2 E_1 E_2 + (\alpha_1 \alpha_2 + \alpha_3) E_1^2 + \frac{\alpha_2 k_2^2 h^2}{15} E_2^2 \right] \Omega + 1 + \lambda_2 E_2^2 \right\} \omega_{20} = 0$$

Здесь приняты следующие обозначения:

$$v = \sqrt{n - \frac{\omega^2}{c^2}}, \quad n = k_1^2 + k_2^2, \quad \Omega_0^2 = \frac{Dn^2}{2\gamma h}, \quad \Omega = \frac{\omega i}{\Omega_0}$$

$$\alpha_2 = \frac{S}{R}$$

где

$$S = A_1 + ck_1 [2\gamma h v (\omega + 4\pi z i) + \alpha_1 \{ (4\pi z h v i - h\omega - \omega) e^{2(a-h)v} + 8\pi z h^2 v^2 i \operatorname{sh} 2(a-h)v \}]$$

$$R = \omega (8\pi z h v i - \omega e^{2(a-h)v}) + 2(4\pi z h v)^2 \operatorname{sh} 2(a-h)v$$

$$\alpha_3 = -\frac{n}{k_2 v \operatorname{sh} 2(a-h)v} \left| v^2 \left( 1 + \frac{k_1^2 c^2 i}{4\pi z \omega i} \right) (\alpha_3 + \alpha_1 e^{-2(a-h)v}) + \right.$$

$$\left. + \left( 1 + \frac{nc^2 i}{4\pi z \omega i} \right) \left( k_1 \alpha_3 - \frac{4\pi z i}{c} \alpha_2 \right) \frac{2k_1 v k_2 \operatorname{sh} 2(a-h)v}{e^{2(a-h)v}} \right.$$

$$\alpha_4 = \frac{n}{v \operatorname{sh} 2(a-h)v} \left\{ \frac{2\omega}{c} \left( 1 + \frac{nc^2 i}{4\pi z \omega i} \right) \left( 1 + \frac{4\pi z h v i}{\omega} \right) \alpha_2 \operatorname{sh} 2(a-h)v - \right.$$

$$\left. - \left( \frac{c^2 v^2 i}{4\pi z \omega} + \frac{\omega^2 h^2}{3c^2} \right) k_1 \alpha_1 + \left[ \left( \frac{\omega i}{4\pi z} - \frac{\omega^2 h^2}{3c^2} + 1 \right) e^{2(a-h)v} - \right. \right.$$

$$\left. - \left( 1 + \frac{nc^2 i}{4\pi z \omega i} \right) (e^{2(a-h)v} + 2h v \operatorname{sh} 2(a-h)v) \right] k_1 \alpha_3 \right\} \quad (3.3)$$

$$\alpha_5 = \frac{2nhci}{\Omega_0} \left[ \frac{ck_2}{\omega} (e^{2(a-h)v} + 2h v \operatorname{sh} 2(a-h)v) \alpha_3 + \frac{ck_1}{\omega} \left( \frac{h^2 \omega^2}{c^2} + 1 \right) \alpha_4 + \right.$$

$$\left. + \left( e^{2(a-h)v} - \frac{8\pi z h v i \operatorname{sh} 2(a-h)v}{\omega} \right) \alpha_5 \right]$$

$$\alpha_6 = -\frac{2nh i}{k_2 \Omega_0} (ck_1 \alpha_5 + \omega \alpha_2), \quad A_0 = 0, \quad A = \frac{\omega n}{c v \operatorname{sh} 2(a-h)v}, \quad (\alpha = 2, 3)$$

$$\alpha_1 = \left( \frac{4\pi z}{c} \right)^3 \frac{zh^2}{c^3 v^2}, \quad \alpha_2 = \left( \frac{4\pi z}{c} \right)^2 \frac{zh^2}{c^2 v \Omega_0}, \quad \alpha_j = \frac{hk^2}{2\pi n^2 i}, \quad (j = 1, 2)$$

$$\alpha_3 = \frac{k_0 c^2 (c^2 v e^{2(a-h)v} + 8\pi z \omega i + 2nhc^2) \operatorname{sh} 2(a-h)v}{n [(c^2 v e^{2(a-h)v} + 8\pi z \omega i + 2nhc^2)^2 - c^4 v^2]}$$

$$\alpha_4 = \frac{k_2 c^2 v \operatorname{sh} 2(a-h)v}{n [(c^2 v e^{2(a-h)v} + 8\pi z \omega i + 2nhc^2)^2 - c^4 v^2]}$$

$$\beta_3 = -\frac{k_1}{k_2} \alpha_4, \quad \beta_4 = -\frac{k_1}{k_2} \alpha_5$$

Остальные искомые величины выражаются через  $\omega_1$  и  $\omega_2$ . Приведем некоторые из них:

$$f_1 = \left(\frac{4\pi\sigma}{c}\right)^2 \frac{2h^2 n^{\omega_2}}{c} (a_4 E_1 \omega_2 + \vartheta_4 E_2 \omega_1)$$

$$f_2 = \left(\frac{4\pi\sigma}{c}\right)^2 \frac{2h^2 n^{\omega_1}}{c} (a_3 E_1 \omega_1 + \vartheta_3 E_2 \omega_2)$$

Приравняв детерминант (3.2) нулю, получим характеристическое уравнение, определяющее частоты колебаний.

В общем случае характеристическое уравнение оказывается трансцендентным.

4. Для простоты рассмотрим задачу в случае, когда колебания не зависят от координаты  $y$ . Тогда система уравнений (3.2) примет следующий вид:

$$\begin{aligned} & [\Omega^2 + \alpha_2 E_2^2 (1 - 4\pi\gamma_3) \Omega + 1] \omega_{10} + \alpha_2 (p\gamma_3 - q_2\gamma_1) E_1^2 \Omega \omega_{20} = 0 \\ & \left| \frac{p\gamma_1 \Omega_0^2}{\gamma_1^2} \Omega - \left( q_2\gamma_3 + \frac{\gamma_2 k_2^2 c^2 p}{4\pi\sigma\gamma_1} \right) \Omega^2 + \frac{c^2 \gamma_3 q_2 k_2^2}{4\pi\sigma} \Omega \right| \frac{\gamma_2}{\gamma_1^2} E_2^2 \omega_{10} - (3.4) \\ & + \left| 1 + (1 - \alpha_1 \gamma_1 E_1^2) \Omega^2 + \alpha_1 \left( E_1^2 + \frac{h^2 k_2^2}{15} E_2^2 \right) \Omega + \frac{h}{2\pi k_2^2 D} E_2^2 \right| \omega_{20} = 0 \end{aligned}$$

Здесь приняты следующие обозначения:

$$\begin{aligned} \gamma_1 &= q_1 (q_1^2 - q_2^2), & \gamma_2 &= q_2 (q_1^2 - q_2^2), & \gamma_3 &= q_3 \left( q_3^2 + \frac{\omega^2}{4} q_2^2 \right) \\ \gamma_4 &= q_2 \left( q_3^2 + \frac{\omega^2}{4} q_2^2 \right), & \gamma_1^2 &= k_2^2 - \frac{\omega^2}{c^2}, & p &= \frac{\gamma_1}{2h} (\operatorname{cth} 2(a-h)\gamma_1 - 1) \\ q_2 &= \frac{\omega i}{2h\gamma_1} (1 + \operatorname{cth} 2(a-h)\gamma_1) - 4\pi\sigma, & \Omega_0^2 &= \frac{k_2^2 D}{2\gamma_1 h}, & \Omega &= \frac{\omega i}{\Omega_0} \\ q_1 &= k_2^2 + \frac{4\pi\sigma}{c^2} \Omega_0 \Omega + \frac{\gamma_1}{2h} (1 + \operatorname{cth} 2(a-h)\gamma_1), & q_2 &= \frac{\gamma_1}{2h \operatorname{sh} 2(a-h)\gamma_1} \end{aligned}$$

Остальные важные величины выражаются через  $\omega_1$  и  $\omega_2$ . Приведем некоторые из них:

$$\begin{aligned} f_1 &= -\left(\frac{4\pi\sigma}{c}\right)^2 \frac{hk_2 \omega}{c} \gamma_2 E_1 \omega_2, & f_2 &= -\left(\frac{4\pi\sigma}{c}\right)^2 \frac{hk_2 \omega}{c} \gamma_1 E_1 \omega_2 \\ \vartheta_1 &= -\left(\frac{4\pi\sigma}{c}\right)^2 \frac{hi\omega\gamma_3 E_2 \omega_{11}}{c}, & \vartheta_2 &= \left(\frac{4\pi\sigma}{c}\right)^2 \frac{\omega^2 h}{\gamma_1^2} \gamma_4 E_2 \omega_1 \end{aligned}$$

Приравняв детерминант системы (3.4) нулю, получим характеристическое уравнение, определяющее частоты колебаний. Пренебрегая  $\omega^2/c^2$  по сравнению с  $k_2^2$  и предполагая  $2(a-h)k_2 \gg 1$ , то есть предполагая, что расстояние между пластинами намного больше длины волны, рассмотрим частные случаи.

а) При  $E_0 = 0$  характеристическое уравнение, определяющее частоты колебаний, распадается на два уравнения

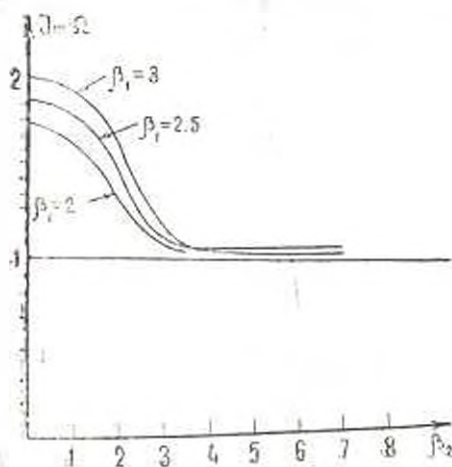
$$\Omega^2 - 1 = 0$$

$$\Omega^3 + \beta_0 \Omega^2 + (1 + \beta_1) \Omega + \beta_2 = 0 \quad (3.5)$$

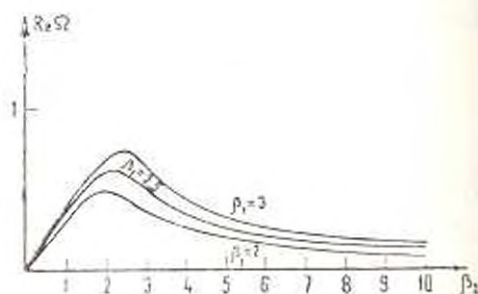
$$\beta_1 = \frac{4\pi h k_z (k_z h + 1)}{c^2 \rho \Omega_0^2} J_1, \quad \beta_2 = \frac{k_0 (k_z h + 1) c^2}{4\pi h \Omega_0}$$

Первое уравнение из (3.5) показывает, что колебания первой пластины не зависят от электрического поля, то есть отсутствует взаимодействие между пластинами.

Характеры изменения частоты колебания и коэффициента затухания второй пластины в зависимости от изменения проводимости  $\beta_2$  и плотности электрического тока  $\beta_1$  приведены на фиг. 1, 2.



Фиг. 1.



Фиг. 2.

Из фиг. 1 видно, что частота колебания второй пластины имеет максимум при  $\beta_2 = 0$  ( $\sigma \rightarrow \infty$ ) и уменьшается при возрастании  $\beta_2$  (уменьшение  $\sigma$ ). При  $\beta_2 \rightarrow \infty$  ( $\sigma \rightarrow 0$ ) частота колебания стремится к частоте собственного колебания пластины.

Увеличение плотности тока  $\beta_1$  приводит как к увеличению, так и к уменьшению частоты колебания в зависимости от значения  $\beta_2$ .

Из фиг. 2 видно, что коэффициент затухания вначале возрастает с возрастанием  $\beta_2$ , достигает максимума при определенном значении  $\beta_2$ , затем уменьшается и в пределе стремится к нулю при  $\beta_2 \rightarrow \infty$  ( $\sigma \rightarrow 0$ ).

Численное решение второго уравнения из (3.5) показывает, что коэффициент затухания возбужденного электромагнитного поля возрастает с возрастанием  $\beta_2$  (уменьшением  $\sigma$ ).

б) При  $E_0 = 0$  характеристическое уравнение, определяющее частоты колебаний, распадается на два уравнения

$$\Omega^2 + 2\delta\Omega + \gamma = 0 \tag{3.6}$$

$$\Omega^2 + z(1 - \beta)\Omega^2 + \Omega + \alpha = 0$$

где

$$\alpha = \alpha_2 \frac{h^2 k_2^2}{30} E_2^2, \quad \gamma = 1 - \frac{hE_2^2}{2-k_2^2 D}, \quad z = \frac{4\pi shk_0}{\Omega_0}, \quad \beta = \frac{4\pi h}{c^2 \rho k_0} J^2$$

Первое уравнение из (3.6) определяет колебания и затухания второй пластины. Его решение показывает, что при  $\delta^2 < \gamma$  затухание возмущения в пластине имеет колебательный характер с частотой  $(\gamma - \delta^2)^{1/2} \Omega_0$  и коэффициентом затухания  $\delta\Omega_0$ .

При  $\delta^2 \geq \gamma$  возмущения затухают без колебаний с коэффициентом затухания  $[\delta + (\delta^2 - \gamma)^{1/2}] \Omega_0$ .

Считаю долгом выразить благодарность участникам семинара «Электродинамика сплошных деформируемых сред» за обсуждение настоящей работы и ценные замечания.

Ереванский армянский государственный педагогический институт им. Х. Абовяна

Получила 2 X 1975

Լ. Վ. ՎԱՐԴԱՆԻԱՆ

ԵՐԿՐՈՒ ԶՈՒՊԱԼՆԵՐԻ ԶՈՍԱՆԵՐՈՍԱՐ ՍՍՒՆԻՐԻ  
ՄԱԳՆԵՒՈԱՍՏՐՈՒԿԱՆ ՏՈՏԱՆՆՈՒՄՆԵՐԸ

Ս. Վ Ի Ն Ֆ Ի Ա Ն Ա

Կրտսերիվում են երկու զուգահեռ հասանքատար առաձգական սաղեր, որոնք գտնվում են միմյանցից սրռշակի հեռավորության վրա:

Էլեկտրական հոսանքների սղղությունները սաղերում միմյանց ուղղահայաց են և զուգահեռ են սաղերի միջին մակերևույթներին:

Խարակ մարմինների համար մագնիսաառաձգականության վարկածների հիման վրա ստացված են սաղերի մագնիսաառաձգական սատանումների հաճախարումները: Ստացված է խնդրին համապատասխանող իարակտրիստիկ նախասարումը, որը հանդիսանում է տատանումների հաճախականությունների սրռշման հախասարումը, Այդ հախասարումը ուսումնասիրված է սարրեր մասնավոր դեպքերում:

Քերված են իվային արգյունքներ:

MAGNETOELASTIC VIBRATIONS OF TWO PARALLEL CURRENT-CARRYING PLATES

L. V. VARDANIAN

S u m m a r y

On the basis of magnetoelasticity hypothesis the equations for magnetoelastic vibrations of two parallel current-carrying plates are de-

duced. The directions of the electric currents in the plates are perpendicular.

The frequency of oscillations and the law of damping, depending on electric current density, are defined for a special case.

#### ЛИТЕРАТУРА

1. Амбарцумян С. А., Вадасарян Г. Е., Бесубекян М. В. К трехмерной задаче магнитоупругих колебаний пластины ПММ. т. 35, вып. 2. 1971
2. Амбарцумян С. А., Вадасарян Г. Е., Бесубекян М. В. К магнитоупругости тонких оболочек и пластин ПММ. 1973, т. 37, вып. 1.
3. Бесубекян М. В. К уравнениям магнитоупругости токонесущих пластин. Изв. АН Арм.ССР, Механика, 1974, т. XXVII, № 2.

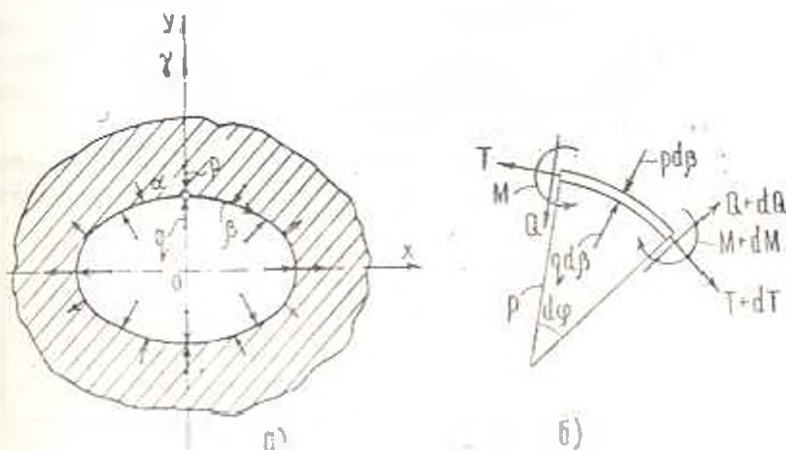
Г. Э. МИКАЕЛЯН

РАВНОВЕСИЕ ДЛИННОЙ ГИБКОЙ ЦИЛИНДРИЧЕСКОЙ  
 ОБОЛОЧКИ ПОД ДЕЙСТВИЕМ ВНУТРЕННЕГО ДАВЛЕНИЯ  
 ПРИ УПРУГОМ ОГРАНИЧЕНИИ НОРМАЛЬНЫХ  
 ПЕРЕМЕЩЕНИЙ

Рассматриваются большие прогибы длинной ортотропной замкнутой по окружности цилиндрической оболочки, нагруженной равномерно распределенным внутренним давлением  $q$ .

Предполагается, что оболочка имеет выпуклое поперечное сечение двумя осями симметрии и по внешней поверхности связана со сплошной средой.

Считается, что нормальным перемещениям оболочки окружающая среда отвечает противодействием с интенсивностью  $p$ , пропорциональной этим перемещениям ( $p = k\omega$ ), а на тангенциальные перемещения не реагирует, то есть считается, что среда является винклеровским основанием для оболочки. В такой постановке решены многие задачи устойчивости круговых цилиндрических и сферических оболочек, связанных с упругой средой по внешней или внутренней поверхности. Анализ этих работ приводится в обзорной статье [2].



Фиг. 1

1. Пусть длинная ортотропная упругая цилиндрическая оболочка нагружена равномерно распределенным внутренним давлением  $q$  и нормально приложенным к срединной поверхности  $y = 0$  противодействием окружающей среды  $p$  (фиг. 1, а).

Принимаются предположения классической теории оболочек и теории оболочек большого прогиба [1].

Считается, что в процессе деформации цилиндрическая форма средней поверхности оболочки с двумя плоскостями симметрии не нарушается.

В силу принятых предположений для рассматриваемой гибкой оболочки получаются следующие уравнения и соотношения [1, 3].

Уравнения равновесия дифференциального элемента оболочки (фиг. 1б)

$$\frac{dT}{d\beta} + \frac{N}{r} = 0 \quad (1.1)$$

$$\frac{T}{r} - \frac{dN}{d\beta} = q - p \quad (1.2)$$

$$\frac{dM}{d\beta} = N \quad (1.3)$$

Для изгибающего момента  $M$ , внутренней силы  $T$  и кривизны деформированного элемента оболочки  $\frac{1}{r}$  имеем:

$$M = Dv, \quad D = \frac{Eh^3}{12(1-\nu_1\nu_2)} \quad (1.4)$$

$$T = C\epsilon, \quad C = \frac{Eh}{1-\nu_1\nu_2} \quad (1.5)$$

$$\frac{1}{r} = \frac{1}{R} + \kappa \quad (1.6)$$

где  $D$  и  $C$  — жесткости ортотропной оболочки на изгиб и на растяжение по направлению  $\beta$ ,  $E$  — модуль упругости по главному направлению упругости  $\beta$ ,  $\nu_1$  и  $\nu_2$  — коэффициенты Пуассона по главным направлениям  $\alpha$  и  $\beta$ ,  $R$  и  $h$  — радиус и толщина оболочки.

Тангенциальная деформация  $\epsilon$  и изменение кривизны  $\kappa$  средней поверхности оболочки выражаются через перемещения  $v$  и  $w$  следующим образом:

$$\epsilon = \frac{dv}{d\beta} + \frac{1}{2} \left( \frac{dw}{d\beta} \right)^2 + \frac{w}{R} \quad (1.7)$$

$$\kappa = - \frac{d^2w}{d\beta^2} - \frac{v}{R} \quad (1.8)$$

Из системы уравнений (1.1)–(1.3), согласно (1.4), получим

$$T = T_0 - D \int \frac{d\epsilon}{d\beta} \quad (1.9)$$

$$\frac{T}{r} - D \frac{d\epsilon}{d\beta} = q - kw \quad (1.10)$$

где  $T_0$  — постоянная интегрирования

Значение  $T_0$  определим из условия замкнутости оболочки

$$\int_0^l \frac{dv}{d\beta} d\beta = 0 \quad (1.11)$$

Здесь  $l$  — длина средней линии поперечного сечения оболочки.

Из (1.7) и (1.5) для  $\frac{dv}{d\beta}$  получим

$$\frac{dv}{d\beta} = \frac{T}{C} - \frac{w}{R} - \frac{1}{2} \left( \frac{dw}{d\beta} \right)^2 \quad (1.12)$$

Подставляя значения  $\frac{dv}{d\beta}$  из (1.12) в (1.11) и учитывая (1.9), для  $T_0$  будем иметь

$$T_0 = -\frac{1}{l} \int_0^l \left[ D \int_{\beta_0}^{\beta} \frac{dz}{\rho} - \frac{Cw}{R} - \frac{C}{2} \left( \frac{dw}{d\beta} \right)^2 \right] d\beta \quad (1.13)$$

Уравнение равновесия оболочки (1.10), с учетом (1.6), (1.8), (1.9) и (1.13), приводится к виду

$$\begin{aligned} \Phi = & \left\{ \frac{1}{l} \int_0^{\beta} \left[ D \int_{\beta_0}^{\beta} \left( \frac{1}{R} - \frac{d^2 w}{d\beta^2} - \frac{w}{R^2} \right) d \left( \frac{d^2 w}{d\beta^2} + \frac{w}{R^2} \right) + \right. \right. \\ & \left. \left. + \frac{Cw}{R} + \frac{C}{2} \left( \frac{dw}{d\beta} \right)^2 \right] d\beta + \right. \\ & \left. + D \int_{\beta_0}^{\beta} \left( \frac{1}{R} - \frac{d^2 w}{d\beta^2} - \frac{w}{R^2} \right) d \left( \frac{d^2 w}{d\beta^2} + \frac{w}{R^2} \right) \right\} \left( \frac{1}{R} - \frac{d^2 w}{d\beta^2} - \frac{w}{R^2} \right) + \\ & + D \frac{d^2}{d\beta^2} \left( \frac{d^2 w}{d\beta^2} + \frac{w}{R^2} \right) + kw - q = 0 \end{aligned} \quad (1.14)$$

Таким образом, определение нормальных перемещений оболочки сводится к решению интегро-дифференциального уравнения (1.14).

2. Уравнение (1.14) будем интегрировать методом Бубнова—Галеркина.

Пусть радиус кривизны средней линии поперечного сечения оболочки имеет вид

$$R = R_0 (1 + \varepsilon_0 \cos \beta) \quad (2.1)$$

где

$$0 \leq \varepsilon_0 < 1, \quad \beta = \frac{4\pi}{l}, \quad l = 2R_0 \sqrt{1 - \varepsilon_0^2} \quad (2.2)$$

Согласно (2.1) параметрические уравнения кривой в декартовой системе координат  $xoy$  (фиг. 1, а) запишутся следующим образом:

$$\begin{aligned} x &= \frac{2}{\lambda} \sqrt{\frac{1+\varepsilon_0}{2\varepsilon_0}} \arcsin \left( \sqrt{\frac{2\varepsilon_0}{1-\varepsilon_0}} \sin \frac{i\beta}{2} \right) \\ y &= -\frac{2}{\varepsilon_0} \sqrt{\frac{1-\varepsilon_0}{2\varepsilon_0}} \operatorname{Arsh} \left( \sqrt{\frac{2\varepsilon_0}{1-\varepsilon_0}} \cos \frac{i\beta}{2} \right) \end{aligned} \quad (2.3)$$

Интересно отметить, что при определенных значениях  $\varepsilon_0$  (например,  $0 < \varepsilon_0 < \frac{1}{3}$ ) кривая (2.3) практически не отличается от эллипса.

Решение уравнения (1.14) представим в виде

$$\omega = \omega_0 + f \cos i\beta \quad (2.4)$$

Представление (2.4) соответствует основному предположению о характере деформаций оболочки.

Согласно методу Бубнова—Галеркина необходимо выписать следующие уравнения:

$$\int_0^l \Phi d\beta^2 = 0, \quad \int_0^l \Psi \cos i\beta d\beta = 0 \quad (2.5)$$

Подставляя выражения  $R$  и  $\omega$  из (2.1) и (2.4) в (1.14) и выполняя интегрирование (2.5), получим следующую систему двух алгебраических уравнений относительно безразмерных параметров нормального перемещения оболочки  $\bar{y}$  и  $\bar{f}$ :

$$\begin{aligned} & \left\{ 2\varepsilon_0^2 \beta_0^2 \gamma_0^2 + [2\varepsilon_0 (\beta^2 - 1) \beta^2] \gamma_0^2 + \left[ \frac{1}{2} \beta^2 (\beta^2 - 1)^2 - 3\beta^2 \beta_0 \right] \gamma_0 \right\} \bar{f}^2 + \\ & + \left\{ \beta_0 (6 - \beta^2) \gamma_0^2 - \left[ \frac{1}{2} \beta (\beta^2 - 1) \frac{\beta^2}{\varepsilon_0} - \frac{12}{\varepsilon_0} \left( 1 - \frac{\beta}{2} \right) - \varepsilon_0 (\beta^2 - 1) \beta^2 \right] \gamma_0 - \right. \\ & \left. - \frac{1}{2} \left( \frac{\beta}{\varepsilon_0} \right)^2 (\beta^2 - 1) \beta^2 \right\} \bar{f} + \left[ (\bar{k} - J^0) \gamma_0 + \frac{1}{2} (\beta^2 - 1) \frac{\beta}{\varepsilon_0} \right] \bar{f} - \bar{q} = 0 \quad (2.6) \\ & \left\{ -\varepsilon_0 \beta^2 (1 + \varepsilon_0^2) \gamma_0^2 - \frac{1}{2} (\beta^2 - 1) \beta^2 (1 + 3\varepsilon_0^2) \gamma_0^2 - 3\varepsilon_0 \beta \left[ \frac{1}{4} \beta^2 (\beta^2 - 1)^2 - \beta^2 \right] \gamma_0 - \right. \\ & \left. - \frac{1}{2} \beta (\beta^2 - 1) \left[ \frac{1}{4} \beta^2 (\beta^2 - 1)^2 - 3\beta \right] \right\} \bar{f}^2 + \left\{ -\varepsilon_0 (\beta^2 + 6\beta) \gamma_0^2 + \right. \\ & \left. - \left[ 12 \left( 1 - \frac{\beta}{2} \right) - (\beta^2 - 1) \beta^2 - 3\beta (\beta^2 - 1) \right] \gamma_0 - \frac{1}{\varepsilon_0} \left[ \frac{1}{4} \beta^2 (\beta^2 - 1)^2 + \right. \right. \end{aligned}$$

\* Некоторые интегралы вычислены при помощи рядов.

$$\begin{aligned}
 & -9\theta^2(3-\theta) - 6\left(1 - \frac{\theta}{2}\right) \left\| \bar{f} - \left[ \left( \frac{f}{\varepsilon_0} - \theta^2 \varepsilon_0 \right) - \frac{6\theta}{\varepsilon_0 \theta} \right] \gamma_0 - \frac{1}{2} \bar{k} \right. \\
 & \left. + \frac{1}{2} \theta (\theta^2 - 1) \left( \theta^2 - \frac{f}{\varepsilon_0^2} \right) + 12 \left( 1 - \frac{\theta}{2} \right) \frac{1}{\varepsilon_0^2} \right\| = 0 \quad (2.7)
 \end{aligned}$$

где введены следующие безразмерные параметры:

$$\begin{aligned}
 \theta &= \frac{h}{R_0}, \quad \gamma_0 = \frac{w_0}{f} = \frac{\bar{w}_0}{\bar{f}}, \quad \theta = \lambda R, \quad \bar{w}_0 = \frac{w_0}{h}, \quad \bar{f} = \frac{f}{h} \\
 \bar{k} &= k \frac{R_0^3}{D}, \quad \bar{q} = q \frac{R_0^2}{D}, \quad f = \frac{1}{2(1-\varepsilon_0^2)} \left[ \varepsilon_0 \ln \frac{1-\varepsilon_0}{1+\varepsilon_0} - \ln(1-\varepsilon_0^2) \right] \quad (2.8)
 \end{aligned}$$

Подставляя в (1.9) значения  $T_n$ ,  $\frac{1}{\rho}$  и соответственно из (1.13), (1.6), (1.8), с учетом (2.1) и (2.4) для безразмерного тангенциального усилия  $\bar{T}$  получим

$$\begin{aligned}
 \bar{T} &= T \frac{R_0^2}{D} = \left[ \varepsilon_0^2 \theta^2 \gamma_0^2 + \varepsilon_0 \theta^2 (\theta^2 - 1) \gamma_0 + \frac{1}{4} (\theta^2 - 1) \theta^2 + 3\theta^2 \right] \bar{f} - \\
 &+ \left[ 2 \left( \theta \ln \sqrt{1-\varepsilon_0^2} + \frac{3\theta}{\theta} \right) \gamma_0 + 2 \frac{\theta}{\varepsilon_0} (\theta^2 - 1) \ln \sqrt{1-\varepsilon_0^2} + \right. \\
 &+ \left. \left( 1 - \frac{\theta}{2} \right) \frac{12}{\varepsilon_0 \theta} \right] \bar{f} - \left[ \frac{1}{\varepsilon_0} \ln(1 + \varepsilon_0 \cos \lambda \beta) + \right. \\
 &+ \left. \bar{f} \theta (2\varepsilon_0 \gamma_0 + \theta^2 - 1) \frac{1}{2} \cos^2 \lambda \beta - \theta \gamma_0 \bar{f} \cos \lambda \beta \right] (2\varepsilon_0 \gamma_0 + \theta^2 - 1) \theta \bar{f} \quad (2.9)
 \end{aligned}$$

Решая систему уравнений (2.6) и (2.7), определим все расчетные величины задачи.

В частном случае ортотропной круговой цилиндрической оболочки, когда  $\varepsilon_0 = 0$ ,  $\bar{f} = 0$ , из (1.9) и (1.10), с учетом (1.6), (1.8), (1.13), (2.1), (2.4) и (2.8), получим соотношения, которые устанавливают простую связь между расчетными величинами ( $\bar{q}$ ,  $\bar{w}_0$ ,  $\bar{T}$ ) оболочки

$$\bar{q} = \left( \frac{12}{\theta} + \bar{k} \right) \bar{w}_0 - 12 \bar{w}_0^2, \quad \bar{T} = \frac{12}{\theta} \bar{w}_0 \quad (2.10)$$

### 3. Рассмотрим численный пример.

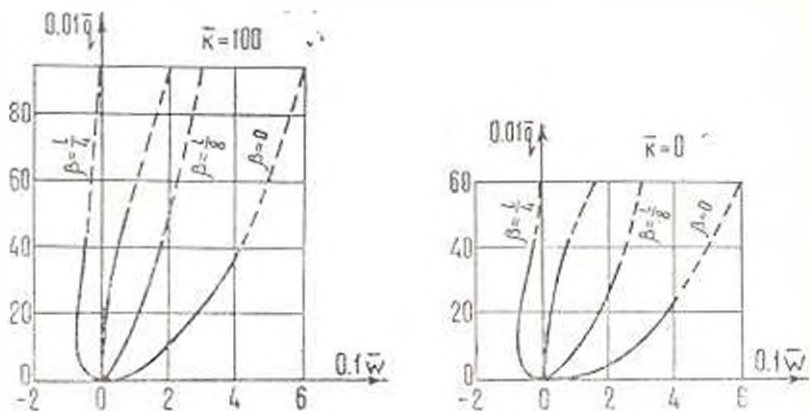
Пусть

$$\varepsilon_0 = \frac{1}{3}, \quad \theta = \frac{1}{50}$$

Отношение полусей поперечного сечения рассматриваемой оболочки, согласно (2.3), равно 0.7935.

Покажем характер изменения закономерности  $\bar{q} - \bar{w}$  для точек  $\beta=0$ ,  $\beta = \frac{1}{8}$  и  $\beta = \frac{1}{4}$  срединной поверхности оболочки при  $\bar{k} = 0$  и при наличии окружающей среды с параметром  $\bar{k} = 100$ .

Задаваясь значением  $\gamma_0$ , из (2.7) определим соответствующее значение  $\bar{l}$ . Далее по известным значениям  $\gamma$  и  $\bar{l}$  из (2.6) находим соответствующее значение нагрузки  $\bar{q}$ .



Фиг. 2.

На фиг. 2 приведены кривые зависимости «нагрузка—прогиб» для рассматриваемой оболочки и для круговой цилиндрической оболочки с параметром  $\bar{\nu} = \frac{1}{50}$ .

Сравнивая полученные кривые, замечаем, что и рассматриваемой задаче некруговая цилиндрическая оболочка, как и следовало ожидать, имеет весьма большую гибкость по сравнению с круговой. Это является результатом качественно отличающегося друг от друга поведения оболочек двух типов; некруговая цилиндрическая оболочка деформируется с интенсивным изменением формы поперечного сечения, а круговая — без изменения.

Что касается вопроса влияния окружающей среды, то, как показывают кривые, среда, в зависимости от коэффициента  $\bar{k}$ , может значительно ограничить нормальные перемещения оболочки, придавая ей дополнительную жесткость.

## Հ. Չ. ՄԻԿԱԵԼԻԱՆ

ՄԵՆ ԵՐԿԱՐՈՒԹՅՈՒՆ ՈՒՆԵՑՈՂ ՀԿՈՒՆ ԴԼԱՆԱՅԻՆ ԹԱՂԱՆՔԻ  
 ՀԱՎԱՍԱՐԱԿՆՈՒԹՅՈՒՆԻՆՉ ՆԵՐՓԻՆ ՃՆՇՄԱՆ ՏԱԿ ԿՈՐԲԱԿ  
 ՏԵՂԱՓՈՒՆՈՒՄՆԵՐԻ ԱՌԱՋԴԱՌԱՆ ՍԱՀՄԱՆԱՓԱԿՄԱՆ ԳՆՊՓՈՒՄ

## Ս. մ. փ. ո. փ. ո. ւ. մ.

Գիտվում են Սրբխտրոպ, ոչ շրջանային, առաձգական, փակ դրանային թաղանթի մեծ ճկվածքները հավասարաչափ բաշխված ներքին ճնշման տակ: Ենթադրվում է, որ թաղանթն ունի երկու առանցքների նկատմամբ սիմետրիկ, ուռուցիկ լայնական կտրվածք և արտաքին մակերևույթով միացված է նոսր միջավայրի նկատմամբ: Ընդունվում է, որ միջավայրը հանդես է գալիս որպես վիճակըրյան ֆիմք:

Թաղանթի նորմալ աեղափոխումների սրոշման համար ստացված է ինտեգրա-դիֆերենցիալ հավասարում, որը լուծվում է Բուբնով-Գալյորկինի մեթոդով:

Փվային սրինակում բացահայտվում են դիտվող խնդրում շրջանային և ոչ շրջանային դրանային թաղանթների վարքերի սրակապիտ տարրեր բնորոշ կողմերը: Նշվում է, որ շրջապատող միջավայրը սահմանափակում է թաղանթի նորմալ աեղափոխումները՝ տալիս է նրան լրացուցիչ կոշտություն:

## EQUILIBRIUM OF A LONG FLEXIBLE CYLINDRICAL SHELL UNDER INTERNAL PRESSURE WITH ELASTIC LIMITATION ON NORMAL DISPLACEMENTS

H. Z. MIKHAELIAN

## S u m m a r y

Large deflections of an orthotropic closed non-circular elastic cylindrical shell connected with Vinkler foundation along the external surface are examined.

To determine the normal shell displacements an integro-differential equation is obtained solved by Bubnov-Galyorkin's method.

An example is presented to show characteristic aspects of qualitatively different from one another modes of behaviour of non-circular and circular cylindrical shells in the problem under consideration.

## ЛИТЕРАТУРА

1. Алборцумян С. А. Общая теория анизотропных оболочек. М., Наука, 1974.
2. Иванов В. А. Обзор литературы по устойчивости оболочек с упругим наполнителем. Тр. семинара по теории оболочек. Казань, вып. 2, 1971.
3. Шелостнев В. И. Десять лекций-бесед по сопротивлению материалов. М., Наука, 1969.
- 4 Известия АН Армянской ССР. Механика, № 2

Կ. Վ. НЕМИРОВСКИЙ, Б. С. РЕЗНИКОВ

## О НАЧАЛЬНОМ РАЗРУШЕНИИ АРМИРОВАННЫХ КРУГЛЫХ И КОЛЬЦЕВЫХ ПЛАСТИН

Армированные конструкции в процессе деформирования проявляют ряд особенностей поведения по сравнению с однородными конструкциями из традиционных материалов. В частности, они обладают свойствами ослабленного сопротивления поперечному сдвигу [1] и существенным влиянием структуры армирования на поведение конструкции [2].

Учет влияния поперечного сдвига на поведение анизотропных пластин исследовался в [3] при использовании гипотезы Тимошенко и ее обобщения в [4, 5]. В качестве основного предположения [4] используется статическое условие, что касательные напряжения по толщине пластинки меняются по заданному закону (в частности, по закону квадратной параболы). В [5] получены уравнения, основанные на кинематических гипотезах, которые соответствуют заданию закона изменения по толщине не только радиальных перемещений, но и нормальных перемещений. Использование кинематических гипотез [5] приводит к сложной системе дифференциальных уравнений даже в случае осесимметричного изгиба круглых пластин.

Необходимо отметить, что структура армирования входит в уравнения [1, 3—5] лишь косвенным путем.

В данной работе на основе обобщенной гипотезы Тимошенко (задается закон изменения радиальных перемещений по толщине) получены уравнения, соответствующие принятой кинематической гипотезе. При этом коэффициенты в разрешающих уравнениях в отличие от работ [1, 3—5] определяются расчетным путем с использованием значений механических характеристик элементов композиционного материала. Таким образом, полученные уравнения позволяют не только учесть влияние сдвига на напряженно-деформированное состояние армированной пластинки, но и исследовать вопросы о характере начального «разрушения», о величине нагрузки начального «разрушения», а также поставить и решить задачу о рациональном характере подбора механических параметров элементов композиции и структуры армирования пластинки с точки зрения прочности и жесткости.

1. При осесимметричном нагружении, закреплении и ортотропном армировании (с цилиндрической анизотропией) кольцевой пластинки все величины от угловой координаты  $\varphi$  не зависят, тогда

$$\varepsilon_{\theta\theta} = \varepsilon_{zz} = 0 \quad (1.1)$$

Пренебрегая обратным, то есть полагая

$$\varepsilon_z = 0 \quad \text{и} \quad \omega = \omega(r) \quad (1.2)$$

будем считать, что напряжения  $\tau_{rz}$  малы по сравнению с остальными нормальными напряжениями.

Если для армированного слоя принять предположения, изложенные в [6], и считать, для простоты и определенности, что имеем четыре семейства нитей армирования, два из которых расположены в главных геометрических направлениях, а два — под симметричными углами к радиальному направлению, то связь между осредненными напряжениями и деформациями для композиционного материала будет иметь вид

$$\tau_r = a_{13}\varepsilon_r + a_{12}\varepsilon_z, \quad \sigma_z = a_{12}\varepsilon_r - a_{22}\varepsilon_z, \quad \sigma_{\theta\theta} = a_{11}\varepsilon_{\theta\theta} \quad (1.5)$$

для нитей армирования —

$$\sigma_1^* = E_1^* \varepsilon_1, \quad \sigma_2^* = E_2^* \varepsilon_2, \quad \sigma_3^* = E_3^* (\varepsilon_1 \cos^2 \mu + \varepsilon_2 \sin^2 \mu) \quad (1.4)$$

и для связующего —

$$\sigma_r^c = \frac{E_c}{(1-\nu^2)} (\varepsilon_r + \nu_c \varepsilon_z), \quad \sigma_z^c = \frac{E_c}{(1-\nu_c^2)} (\nu_c \varepsilon_r + \varepsilon_z), \quad \sigma_{\theta\theta}^c = a_{11}\varepsilon_{\theta\theta} \quad (1.5)$$

где

$$a_{1j} = a - a_1 \sum_{i=1}^3 \nu_i E_i l_i^2, \quad (j = 1, 2)$$

$$a_{12} = \nu_c a - a_2 \sum_{i=1}^3 \nu_i E_i l_i^2 k_i^2 \quad (1.6)$$

$$a_{13} = E_c [2(1 + \nu_c) a_1]^{-1}, \quad l_{1i} = \cos \mu_i, \quad l_{2i} = \sin \mu_i$$

$$\mu_1 = 0, \quad \mu_2 = \pi/2, \quad \mu_3 = \mu_1 = \mu, \quad \omega_1 = \nu_4$$

$$a = a_1 E_c (1 - \nu_c^2)^{-1}$$

Здесь и в дальнейшем используются следующие обозначения:  $r$ ,  $\varphi$  и  $z$  — радиальная, тангенциальная и нормальная координаты пластинки;  $u$ ,  $w$  — смещения вдоль осей  $r$  и  $z$ ;  $\sigma_r$ ,  $\sigma_z$ ,  $\sigma_{\theta\theta}$  — нормальные и касательные напряжения в пластинке;  $2h_0$ ,  $r_0$ ,  $R_0$  — толщины, внутренние и внешний радиусы пластинки;  $E_c$ ,  $\nu_c$  — модуль Юнга и коэффициент Пуассона материала связующего,  $E_i$  ( $i = 1, 2, 3$ ) — модули Юнга материалов нитей армирования;  $\mu$  — углы между направлением оси « $or$ » и направлением нитей углового армирования;  $\omega_i$  ( $i = 1, 2, 3$ ) — удельные интенсивности армирующих нитей в плоскости армированного слоя,  $a_1$  ( $a_2 = 1 - a_1$ ) — интенсивность армирующего слоя по толщине пластинки,  $\nu_c$  — удельное объемное содержание нитей армирования, которое определяется следующим образом:

$$\nu_c = (R_0^2 - r_0^2)^{-1} 2 \int_0^{R_0} [a_1 (\nu_1 + \omega_2 + 2\omega_3) r] dr \quad (1.7)$$

Величины с индексом « $a$ » относятся всюду к арматуре, а с индексом « $c$ » — к слою связующего.

Для радиального смещения  $u$  примем зависимость [5]

$$u = u_0(r) - z^2 \gamma_2(r) + z^4 \gamma_4(r) \quad (1.8)$$

которая соответствует разложению смещения  $u(r, z)$  и ряд по степеням  $z$ . Зависимость (1.8) соответствует минимальному числу членов ряда, при котором возможно учесть сдвиговые напряжения в армированной пластинке, удовлетворяющие заданным условиям на поверхностях  $z = \pm h_0$ . Следует отметить, что при  $\gamma_2(r) = \gamma_4(r) = 0$  соотношение (1.8) соответствует гипотезе Тимошенко С. П., а при  $\gamma_2 = \gamma_4 = 0$  и  $\gamma = -\frac{dw}{dr}$  (1.8) — гипотезе Кирхгофа-Лява.

В дальнейшем будут рассмотрены задачи, для которых касательные напряжения на поверхностях  $z = \pm h_0$  равны нулю, то есть

$$\tau_{rz}|_{z=\pm h_0} = 0 \quad (1.9)$$

тогда, используя выражения для деформаций

$$\varepsilon_r = \frac{\partial u}{\partial r}, \quad \varepsilon_z = \frac{\partial w}{\partial z}, \quad \varepsilon_{rz} = \frac{\partial u}{\partial z} + \frac{dw}{dr} \quad (1.10)$$

и последнее соотношение из (1.3), нетрудно получить

$$\gamma_2 = 0, \quad \gamma_4 = -\frac{1}{32h_0^2} (\gamma - u') \quad (1.11)$$

Дифференциальные уравнения изгиба кольцевой пластинки и граничные условия можно получить, используя принцип виртуальных перемещений, который в рассматриваемом случае имеет вид

$$\int_{-h_0}^{h_0} \int_{r_0}^{R_0} (z_r \delta \varepsilon_r + z_z \delta \varepsilon_z + z_{rz} \delta \varepsilon_{rz}) r dr dz = \int_{r_0}^{R_0} q^0 w r dr + \\ + \int_{-h_0}^{h_0} \{ [p^0(R_0, z) \delta u(R_0, z) - p_r^0(R_0, z) \delta w(R_0)] R_0 - \\ - [p_r^0(r_0, z) \delta u(r_0, z) + p^0(r_0, z) \delta w(r_0)] r_0 \} dz \quad (1.12)$$

где  $q(r)$  — распределенная нормальная нагрузка, действующая на пластинку;  $p^0(R_0, z)$  и  $p_r^0(r_0, z)$  — распределенные нагрузки, направленные вдоль оси  $r$  и приложенные в сечениях  $r = r_0$  и  $r = R_0$ , соответственно;  $p_r^0(R_0, z)$  и  $p^0(r_0, z)$  — распределенные нагрузки, направленные вдоль оси  $z$  и приложенные в сечениях  $r = r_0$  и  $r = R_0$ , соответственно. Подставляя (1.12) и (1.10) с учетом (1.8) и (1.11), выполняя интегрирование по частям и учитывая все зависимости вариаций  $\delta u$ ,  $\delta \gamma$  и  $\delta w$ , получим

уравнения изгиба

$$T_r - \frac{d}{dr} (rT_r) = 0, \quad M_r - \frac{d}{dr} (rM_r) - r\bar{Q} = 0$$

$$\frac{d}{dr} (\bar{Q}r) = -qr \tag{1.13}$$

и граничные условия

$$(T_r - T_r^{(1)}) \delta u_0 = 0, \quad (\bar{M}_r - \bar{M}_r^{(1)}) \delta \bar{u}_r = 0$$

$$r(M_r^{(1)} - M_r^{(1)0}) \frac{d^2 w}{dr^2} = 0, \quad (\bar{Q} - Q^0) \delta w = 0 \tag{1.14}$$

где введены следующие обозначения:

$$T_{r(z)} = \int_{-h_0}^{h_0} \sigma_{r(z)} dz, \quad M_{r(z)} = \int_{-h_0}^{h_0} \sigma_{r(z)} z dz, \quad Q = \int_{-h_0}^{h_0} \sigma_{rz} dz$$

$$M_r^{(1)} = \frac{1}{3h_0^2} \int_{-h_0}^{h_0} \sigma_{r(z)} z^2 dz, \quad Q^{(1)} = \frac{1}{h_0^2} \int_{-h_0}^{h_0} \sigma_{rz} z^2 dz \tag{1.15}$$

$$\bar{M}_{r(z)} = M_{r(z)} - \alpha M_r^{(1)}, \quad \bar{Q} = Q - \alpha Q^{(1)} - \frac{\alpha}{r} \left[ M_r^{(1)} - \frac{d}{dr} (rM_r^{(1)}) \right]$$

и

$$T_r^0 = \int_{-h_0}^{h_0} p_r^0 dz, \quad M_r^0 = \int_{-h_0}^{h_0} p_r^0 z dz, \quad Q^0 = \int_{-h_0}^{h_0} p_{rz}^0 dz$$

$$M_r^{(1)0} = \frac{1}{3h_0^2} \int_{-h_0}^{h_0} p_r^0 z^2 dz, \quad \bar{M}_r^0 = M_r^0 - \alpha M_r^{(1)0} \tag{1.16}$$

Для удобства дальнейшего изложения в соотношения (1.13)—(1.16) введем параметр  $\alpha = 0; 1$ , смысл которого будет указан ниже.

Уравнения равновесия (1.13) по форме совпадают с известными [4] уравнениями изгиба в усилиях и моментах для круглых пластин, но «перерезывающая» сила  $\bar{Q}$  в (1.13) отличается от обычного значения перерезывающей силы некоторыми добавочными членами, которые, как будет показано далее, увеличивают порядок разрешающих дифференциальных уравнений в задаче изгиба пластинки и оказывают влияние на характер распределения касательных напряжений по координате  $r$  и максимальную величину нормальных напряжений.

Если в уравнениях (1.13) положить  $\alpha = 0$ , то соотношения (1.3)—(1.11), (1.13), (1.14), хотя и определяют сдвиговые напряжения в пластинке, как и в [4], но уравнения (1.13) при  $\alpha = 0$  необходимо рассматри-

вать как приближенные к уравнениям (1.13) при  $\alpha = 1$ . Поэтому в дальнейшем уравнения (1.13) при  $\alpha = 0$  будем называть для простоты приближенными, а уравнения (1.13) при  $\alpha = 1$  — точными. Граничные условия для приближенных уравнений (1.13) нетрудно получить из (1.14), положив  $\alpha = 0$ . Следует отметить, что для приближенных уравнений (1.13) граничные условия в случае жесткой заделки, как и в [4], могут иметь несколько вариантов, например, при  $r = R_0$ ,  $u_0 = 0$ ,  $\frac{dw}{dr} = 0$ ,  $w = 0$  или  $u(R_0; h_0) = 0$ ,  $w = 0$ . Эта неоднозначность является следствием того, что количество постоянных, полученных при интегрировании приближенных уравнений (1.13) недостаточно, чтобы удовлетворить условию  $u(z) = 0$  на жестко защемленном крае пластинки. Для точных уравнений (1.13), которые имеют порядок выше, чем приближенные граничные условия в случае жесткой заделки определяются однозначно из (1.14)

$$u_0 = \gamma = \frac{dw}{dr} = w = 0 \quad (1.17)$$

Используя (1.8), (1.11) и (1.17), нетрудно показать, что на жестко защемленном крае пластинки в случае точных уравнений (1.13) имеет  $u(z) = 0$

Рассмотрим пластинку с такой структурой армирования, что коэффициенты упругости  $a_{ij} = \text{const}$ , ( $i = 1, 2; j = 1, 2, 3$ ). Тогда, используя (1.3), (1.10), (1.11), (1.15) и (1.13), система уравнений (1.13) сводится к следующим уравнениям для определения функций  $u_0$ ,  $\gamma$  и  $w$ :

$$r^2 u_0'' - r u_0' - r^2 u_0 = 0 \quad (1.18)$$

$$\gamma = \Psi + \frac{1}{5} z \quad (1.19)$$

$$w = \frac{4}{3} \int_0^z \gamma dr - \int_0^z \Psi dr = C_1 \quad (1.20)$$

где функции  $\Psi$  и  $\chi$  определяются из уравнений

$$r^2 \Psi'' + r \Psi' - 11\Psi = -\frac{3r}{2h_0^2 a_{13}} \left( \int_0^z q r dr - C_2 \right) \quad (1.21)$$

$$\chi = -\frac{3}{4h_0 a_{13} r} \left( \int_0^z q r dr - C_2 \right) \quad \text{при } z = 0 \quad (1.22)$$

и

$$r^2 \chi'' + 2r\chi' - \chi \left( k^2 + \frac{210a_{13}}{h_0^2 a_{11}} r^2 \right) = \frac{315r}{2h_0^2 a_{11}} \left( \int_0^z q r dr - C_2 \right) \quad (1.23)$$

при  $z = 1$ .

$C_1, C_2$  — постоянные интегрирования,  $\alpha^2 = \frac{2\sigma_0}{a_{11}}$  и штрих — производная по  $r$ .

Необходимо отметить, что коэффициенты в уравнениях (1.18) — (1.23) зависят от величин  $a_{ij}$  ( $i=1, 2; j=1, 2, 3$ ), которые, в отличие от работ [1, 4—5] определяются расчетным путем из соотношений (1.6) и зависят от механических характеристик элементов композиции, их объемного содержания и структуры армирования.

Из (1.18) — (1.23) видно, что система точных уравнений (1.13) ( $\alpha=1$ ) имеет восьмой порядок, а система приближенных уравнений (1.13) ( $\alpha=0$ ) — шестой. Таким образом, порядок дифференциальных уравнений (1.13) соответствует порядку граничных условий (1.14).

Интегрируя уравнения (1.18), (1.21) и (1.23), получим

$$u_0 = C_3 r^3 + C_4 r^{-1} \tag{1.24}$$

$$\Psi = r^4 \left( C_5 - \int_0^r r^{-2} \tau_1 dr \right) + r^{-2} \left( C_6 + \int_0^r r^3 \tau_1 dr \right) \tag{1.25}$$

и

$$x = I_1(\xi) \left[ C_7 + \int_0^{\xi} \tau_2 K_1(\xi) d\xi \right] + K_1(\xi) \left[ C_8 - \int_0^{\xi} \tau_2 I_1(\xi) d\xi \right] \tag{1.26}$$

(при  $\alpha=1$ )

где  $C_1$ — $C_8$  — постоянные интегрирования

$$\tau_1 = \frac{3}{2h_0^3 a_{11}^3} \left( \int_0^r q r dr - C_2 \right)$$

$$\tau_2 = \frac{315}{2h_0^3 a_{11}^3 r} \left( \int_0^r q r dr - C_2 \right)$$

$$\xi = \frac{r}{R_0}, \quad \eta = \frac{a}{R_0} \sqrt{\frac{210 a_{21}}{a_{11}}}, \quad \xi_0 = \frac{R_0}{n_0}, \quad \eta_0 = \frac{a_0}{R_0}$$

$I_1(\xi)$  и  $K_1(\xi)$  — функции Бесселя от чисто мнимого аргумента.

2. Соотношения (1.19), (1.20), (1.22), (1.24) — (1.26) и (1.3) — (1.5), (1.8), (1.10) позволяют определить не только распределение осевых смещений, деформаций и напряжений в пластинке, но также и величины напряжений во всех элементах (в связующем и арматуре) армированной пластинки. Последнее обстоятельство позволяет исследовать вопросы: о характере начального «разрушения», о величине нагрузки начального «разрушения», а также поставить и решить задачу о рациональном выборе механических параметров элементов композиции и структуры армированной пластинки с точки зрения прочности и жесткости.

В дальнейшем для удобства будем рассматривать только «простое» нагружение, тогда

$$q = pq_0(r), \quad p_1'' = pp_{10}(z), \quad p_2'' = pp_{20}(z) \quad (2.1)$$

и любое напряжение до начала «разрушения» можно представить в виде

$$\begin{aligned} \sigma_i'' &= p\bar{\sigma}_i'' & (i = 1, 2, 3) \\ \sigma_{1,2}'' &= p\bar{\sigma}_{1,2}'' & \sigma_3'' = p\bar{\sigma}_3'' \end{aligned} \quad (2.2)$$

где  $q_0, p_{10}, p_{20}$  — заданные функции, а  $p = 0$  — параметр нагружения, который для простоты будем называть нагрузкой.

Известно [7—9], что материал связующего многих реальных стекло-боро- и углепластиков обладает различными характеристиками прочности при растяжении и сжатии. Поэтому будем считать, что связующее подчиняется условно прочности П. П. Баладина [10]. Тогда один из критериев начального «разрушения» пластинки примет вид

$$\max_{\substack{z \\ -h_1 \leq z \leq h_2}} |(\sigma_1'')^2 + (\sigma_2'')^2 - \sigma_3''\sigma_3'' + 3(\sigma_{12}'')^2 + (\sigma_1'' - \sigma_2'')(\sigma_1'' + \sigma_2'')| = \sigma_+''\sigma_-'' \quad (2.3)$$

где  $\sigma_+$  — пределы прочности материала связующего при растяжении (плюс) и сжатии (минус). При  $\sigma_+'' = \sigma_-''$  условие (2.3) переходит в условие прочности Мизеса.

Для нитей армирования также примем, что пределы прочности при растяжении и сжатии различны. При этом под «разрушением» или пластическим поведением арматуры при сжатии будем понимать любое отклонение от упругого поведения, например, поведение арматуры в процессе ее выпучивания от сжатия в связующем. Учитывая, что нити армирования в принятой модели (1.4) являются одномерными, введем второй критерий начального «разрушения» пластинки в виде

$$\begin{aligned} \sigma_i'' &= \sigma_i'' & \text{при } \sigma_i'' \geq 0 \\ \min_{\substack{r \\ -h_1 \leq r \leq h_2}} | \sigma_1'' = \sigma_{11}'' &, \quad | \sigma_2'' = \sigma_{21}'' & \text{при } \sigma_1'' \geq 0 \text{ и } \sigma_2'' \leq 0 \\ | \sigma_3'' = \sigma_{31}'' & \text{при } \sigma_3'' \leq 0, \quad (i = 1, 2, 3) \end{aligned} \quad (2.4)$$

где

$$\sigma_i'' = \max_{\substack{r, z \\ -h_1 \leq r \leq h_2 \\ -h_1 \leq z \leq h_2}} \sigma_i'', \quad \sigma_i'' = \min_{\substack{r, z \\ -h_1 \leq r \leq h_2 \\ -h_1 \leq z \leq h_2}} \sigma_i''$$

$\sigma_{ij}''$  — пределы прочности материалов нитей армирования  $i$ -того семейства при растяжении (плюс) и сжатии (минус).

Используя соотношения (2.3) и (2.4), можно определить нагрузки, соответствующие началу «разрушения» связующего  $p''$  и арматуры

$$p'' = \min_{i=1, 2, 3} (p_i'') \quad (2.5)$$

где  $p_i^*$  — нагрузка, при которой начинают «разрушаться» нити  $i$ -того семейства. На основании (2.2) и (2.4) величина  $p_i^*$  определяется следующим образом:

$$p_i^* = \begin{cases} \frac{\bar{\sigma}_{ul}^i}{\bar{\sigma}_i^*} & \text{при } \bar{\sigma}_i^* > 0 \\ \min \left\{ \frac{\bar{\sigma}_{ul}^i}{\bar{\sigma}_i^*}, \frac{\bar{\sigma}_{ul}^i}{|\bar{\sigma}_i^*|} \right\} & \text{при } \bar{\sigma}_i^* < 0 \text{ и } \bar{\sigma}_i^* > 0 \\ \frac{\bar{\sigma}_{ul}^i}{|\bar{\sigma}_i^*|} & \text{при } \bar{\sigma}_i^* < 0 \end{cases} \quad (2.6)$$

$$\bar{\sigma}_i^* = \max_{\substack{K_1 \\ K_2}} \bar{\sigma}_i^*, \quad \bar{\sigma}_i^* = \min_{\substack{K_1 \\ K_2}} \bar{\sigma}_i^*, \quad (i = 1, 2, 3)$$

Практическое использование соотношения (2.3) для отыскания нагрузки  $p$ , соответствующей началу «разрушения» связующего, даже с помощью существующих численных методов весьма затруднительно. Во-первых, координаты точки  $r_1, z_1$ , в которой реализуется условие (2.3), должны определяться из системы трансцендентных уравнений. Получение этой системы, построение соответствующего метода численного счета и исследование его сходимости представляет значительные математические трудности. Во-вторых, величина нагрузки в соотношении (2.3) входит нелинейным образом, что приводит к зависимости координат  $r_1, z_1$  от величины нагрузки  $p$ . При этом, как величина нагрузки  $p^*$ , так и величины  $r_1, z_1$  в свою очередь зависят от параметров геометрии  $\beta_1, L$ , вида армирования  $\varphi, \omega_i$  ( $i = 1, 2, 3$ ) и механических характеристик материалов арматуры и связующего  $E_{s1}, E_{s2}, \tau_{11}, \tau_{12}$  ( $i = 1, 2, 3$ ). Поэтому в дальнейшем для упрощения численного счета, будем использовать условие прочности для связующего в виде параллелепипеда, описывающего в пространстве напряжений условие прочности П. П. Баландина (или вписанного в соответствующий эллипсоид) и стороны которого параллельны плоскостям  $\sigma_1^0 \sigma_2^0, \sigma_1^0 \sigma_3^0$  и  $\sigma_2^0 \sigma_3^0$ . Тогда нагрузка, соответствующая началу «разрушения» связующего, определяется следующим образом:

$$p^* = \min \{ p_{11}^*, p_{12}^*, p_{22}^* \} \quad (2.7)$$

где  $p_{11}^*$  определяется из условия

$$p_{11}^* = \sqrt{\frac{\sigma_1^0 \sigma_2^0}{3}} \quad (2.8)$$

и  $p_{12}^*$  из условия

$$\begin{array}{l}
 \sigma_{r(\tau)}^+ = \sigma_{co}^- \\
 \min_{\substack{r \in R \\ h_c \leq z \leq h_0}} |\sigma_{r(\tau)}^+ - \sigma_{en}^+|, |\sigma_{r(\tau)}^+ - \sigma_{co}^-| \\
 |\sigma_{r(\tau)}^+| = \sigma_{co}^-
 \end{array}
 \quad
 \begin{array}{l}
 \text{при } \sigma_{r(\tau)}^+ = 0 \\
 \text{при } \sigma_{r(\tau)}^+ > 0 \text{ и } \sigma_{r(\tau)}^- < 0 \\
 \text{при } \sigma_{r(\tau)}^+ < 0
 \end{array}
 \quad (2.9)$$

$$\sigma_{r(\tau)}^+ = \max_{\substack{r \in R \\ -h_c \leq z \leq h_0}} |\sigma_{co}^-|, \quad \sigma_{r(\tau)}^- = \max_{\substack{r \in R \\ -h_c \leq z \leq h_0}} \sigma_{en}^+$$

$$\sigma_{r(\tau)}^+ = \min_{\substack{r \in R \\ -h_c \leq z \leq h_0}} \sigma_{r(\tau)}^+, \quad \sigma_{co} = \left| \sigma_{co}^- - \sigma_{co}^- \pm \sqrt{\frac{4}{3} [(\sigma_{co}^+)^2 + (\sigma_{co}^-)^2 - \sigma_{co}^+ \sigma_{co}^-]} \right|.$$

Используя (2.2), (2.8), (2.9), нетрудно получить

$$p_{r,z} = \sqrt{\frac{\sigma_{co}^+ \sigma_{co}^-}{3}} \frac{1}{\sigma_{co}^+} \quad (2.10)$$

$$p_{r(\tau)}^+ = \begin{cases} \frac{\sigma_{co}^-}{\sigma_{r(\tau)}^+} & \text{при } \sigma_{r(\tau)}^+ > 0 \\ \min \left\{ \frac{\sigma_{en}^+}{\sigma_{r(\tau)}^+}, \frac{\sigma_{co}^-}{|\sigma_{r(\tau)}^+|} \right\} & \text{при } \sigma_{r(\tau)}^+ > 0, \sigma_{r(\tau)}^- < 0 \\ \frac{\sigma_{co}^-}{|\sigma_{r(\tau)}^+|} & \text{при } \sigma_{r(\tau)}^+ \leq 0 \end{cases} \quad (2.11)$$

где

$$\sigma_{r,z}^+ = \max_{\substack{r \in R \\ -h_c \leq z \leq h_0}} \sigma_{r,z}^+, \quad \sigma_{r(\tau)}^- = \max_{\substack{r \in R \\ -h_c \leq z \leq h_0}} \sigma_{r(\tau)}^-, \quad \sigma_{r(\tau)}^+ = \min_{\substack{r \in R \\ -h_c \leq z \leq h_0}} \sigma_{r(\tau)}^+$$

Таким образом, если величину  $p^r$  находить из соотношений (2.7), (2.10), (2.11), то при определении координат точки  $(r, z)$ , в которой впервые возникает «разрушение» связующего по критерию (2.7), необходимо будет решить фактически одно трансцендентное уравнение и при этом координаты  $r, z$  не зависят от величины нагрузки  $P$ .

Полученные соотношения (2.5)—(2.7), (2.10), (2.11) позволяют определить нагрузку, соответствующую началу «разрушения» пластинки

$$P_c = \min(p^r, p^m) \quad (2.12)$$

Пластинка будет оптимальной по начальному «разрушению», если при заданных параметрах геометрии  $B, \bar{z}_0$ , удельного содержания нитей армирования  $\bar{\psi}_0$  и нитенасыщенности армирующего слоя  $a$ , существуют такие механические характеристики материалов арматуры и связующего  $E_{a_i}, \sigma_{a_i}^+$  ( $i = 1, 2, 3$ ),  $E_c, \sigma_c$  и параметры армирования  $\mu_i, \nu_i$  ( $i = 1, 2, 3$ ), при которых величина  $p_c$  достигает максимального значения, то есть

$$P_c = \max_{(E_{a_i}, \sigma_{a_i}^+, \mu_i, \nu_i, E_c, \sigma_c)} p \quad (2.13)$$

где  $0 \leq i \leq 2$ ,  $0 \leq j \leq 3$  и удовлетворяют условию (1.7).  $E_{ai} \in \Sigma_{ai}$ ,  $\tau_{ai} \in \Sigma_{\tau i}$ ,  $E_i \in \Sigma_{E_i}$ ,  $\tau_i \in \Sigma_{\tau_i}$ ,  $\Sigma_{ai}$ ,  $\Sigma_{\tau i}$ ,  $\Sigma_{E_i}$  и  $\Sigma_{\tau_i}$  — области допустимых значений параметров  $E_{ai}$ ,  $\tau_{ai}$ ,  $E_i$  и  $\tau_i$ , соответственно. Здесь и в дальнейшем для простоты будем считать, что коэффициент Пуассона  $\nu_i$  — величина заданная, так как для многих реально существующих материалов он практически одинаков.

Если на пластинку по условиям эксплуатации накладываются некоторые ограничения на величину прогиба, то представляет интерес проектировать пластинки рациональные с точки зрения жесткости.

Под рациональным проектом с точки зрения жесткости будем понимать проект, для которого при заданных параметрах —  $\beta_0$ ,  $\xi_0$ ,  $u_0$ ,  $a_0$ ,  $E_{ai}$ ,  $\tau_{ai}$ ,  $E_i$ ,  $\tau_i$ , определится такая структура армирования  $\rho^*$ ,  $\omega_i^*$ , ( $i = 1, 2, 3$ ), что допустимый уровень прогиба

$$\omega^* = A_{\omega}^* = \min_{\substack{\rho, \omega_1, \omega_2 \\ \rho \in \Sigma_{\rho}, \omega_i \in \Sigma_{\omega_i}}} A_{\omega}, \quad \left( \max_{\substack{r_0 \leq r \leq R \\ \omega_1 \leq \omega \leq \omega_2}} |\omega(r)| = A_{\omega} \right) \quad (2.14)$$

при выполнении в качестве ограничений для параметров  $E_{ai}$ ,  $\tau_{ai}$ ,  $E_i$ ,  $\tau_i$  неравенств

$$\begin{aligned} \sigma_{(i)}^* &\leq \sigma_{ai}^+ && \text{при } \sigma_{(i)}^* \leq 0 \\ \sigma_{(i)}^* &\leq \sigma_{ai}^+ \text{ и } |\sigma_{(i)}^*| \leq \sigma_{ai}^- && \text{при } \sigma_{(i)}^* > 0 \text{ и } \sigma_{(i)}^* < 0 \\ |\sigma_{(i)}^*| &\leq \sigma_{ai}^- && \text{при } \sigma_{(i)}^* \leq 0, \quad (i = 1, 2, 3) \end{aligned} \quad (2.15)$$

и

$$\begin{aligned} \sigma_{(i)}^* &\leq \left\{ \begin{array}{l} \sigma_{ei}^+ \\ \sigma_{ei}^- \end{array} \right. && \text{при } \sigma_{(i)}^* > 0 \\ \sigma_{(i)}^* &\leq \sigma_{ei}^+ \text{ и } |\sigma_{(i)}^*| \leq \sigma_{ei}^- && \text{при } \sigma_{(i)}^* > 0 \text{ и } \sigma_{(i)}^* < 0 \\ |\sigma_{(i)}^*| &\leq \sigma_{ei}^- && \text{при } \sigma_{(i)}^* \leq 0 \end{aligned} \quad (2.16)$$

которые указывают, что напряжения в связующем и нитях армирования не должны нарушать условий прочности.

3. Рассмотрим кольцевую пластинку, шарнирно опертую на внешнем контуре и свободную на внутреннем, под действием равномерно распределенной нагрузки, тогда

$$q_1 = 1, \quad p_{(1)} = p_{(2)} = 0 \quad \text{при } r = r_0 \text{ и } R_0 \quad (3.1)$$

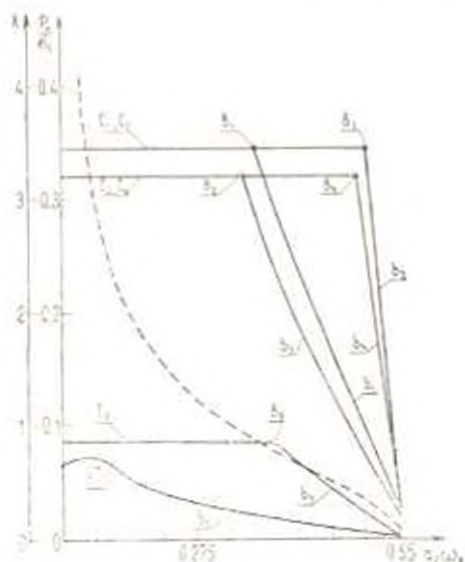
и из (1.14) имеем следующие граничные условия:

$$\begin{aligned} \text{при } r = r_0 & \quad T_r = \bar{M}_r = 2M_r^{(1)} = \bar{Q} = 0 \\ \text{при } r = R_0 & \quad \omega = 0, \quad T_r = \bar{M}_r = 2M_r^{(1)} = 0 \end{aligned} \quad (3.2)$$

Пользуясь условиями (3.1), (3.2) и выражениями (1.3), (1.15), (1.19), (1.20), (1.22), (1.24)–(1.26), можно определить постоянные интегрирования  $C_1$ – $C_4$ . После чего из (1.8), (1.20), (1.4), (1.5) определим значения перемещений в пластинке, а также напряжения в связующем и арматуре, которые можно использовать для решения сформулированных выше задач рационального проектирования. Ввиду громоздкости соответствующие выражения здесь не приводим. Укажем только некоторые результаты численного счета при следующих параметрах:

$$E_{s1} = E_s, \quad \nu_{s1} = \nu_s \quad (i = 1, 2, 3), \quad \nu_s = 0.2 \quad (3.3)$$

$$\nu_{s2} = 0.55, \quad \nu_{s3} = 0.35, \quad a_2 = 0.7, \quad z = 0. \quad (3.4)$$



Фиг. 1

На фиг. 1 приведены зависимости нагрузки начального «разрушения» оболочки от величины параметра армирования  $\alpha_0$  при  $\omega = 0$

|    |                  |            |                 |                   |
|----|------------------|------------|-----------------|-------------------|
| 1. | $\beta_0 = 5$ ,  | $E = 15$ , | $\xi_0 = 1.3$ , | $\alpha^* = 15.2$ |
| 2. | $\beta_0 = 5$ ,  | $E = 75$ , | $\xi_0 = 1.3$ , | $\alpha^* = 51.5$ |
| 3. | $\beta_0 = 5$ ,  | $E = 15$ , | $\xi_0 = 0.2$ , | $\alpha^* = 16.8$ |
| 4. | $\beta_0 = 5$ ,  | $E = 75$ , | $\xi_0 = 0.2$ , | $\alpha^* = 70.3$ |
| 5. | $\beta_0 = 20$ , | $E = 15$ , | $\xi_0 = 1.3$ , | $\alpha^* = 15.8$ |
| 6. | $\beta_0 = 20$ , | $E = 75$ , | $\xi_0 = 1.3$ , | $\alpha^* = 63.4$ |

$$\alpha \geq \alpha^* (E = E_s, E_s, \nu = \nu_s, z).$$

Ниже будет указано, как определялась величина  $\alpha^*$ , которая указывает, что при  $\alpha \geq \alpha^*$   $p_1 = p$ , то есть начальное «разрушение»

пластинки происходит из-за „разрушения“ связующего, а нити армирования остаются упругими. Здесь и в дальнейшем индексы у букв, которыми обозначены кривые, соответствуют номеру варианта параметров, указанных в каждом конкретном случае (в рассматриваемом случае некоторые варианты параметров приведены в (2.5)); точка  $A_i$  соответствует параметрам армирования, при которых пластинка начинает „разрушаться“ от нормальных напряжений  $\sigma^0$  (условие (2.9)) и от сдвиговых напряжений  $\tau_{\theta z}$  (условие (2.8)) одновременно; точка  $B_i$  — от сдвиговых напряжений  $\tau_{\theta z}$  (условие (2.8)) и от нормальных напряжений  $\sigma^0$  (условие (2.9)), одновременно; точка  $c_i$  — от нормальных напряжений  $\sigma^0$  и  $\sigma^z$  одновременно; точка  $a_i$  соответствует параметрам армирования, при которых пластинка начинает „разрушаться“ от нормальных напряжений  $\sigma^z$ ; точка  $b_i$  — от нормальных напряжений  $\sigma^z$ ; точка  $d_i$  — от сдвиговых напряжений  $\tau_{\theta z}$ . Так, например, на фиг. 1 кривая  $c_1 B_1 b_1$  соответствует первому варианту параметров из (3.5). При этом на прямолинейном участке  $c_1 B_1$  пластинка начинает „разрушаться“ от сдвиговых напряжений в связующем на окружности  $r = R_0$  и  $z = 0$ , на участке  $B_1 b_1$  пластинка начинает „разрушаться“ от нормальных напряжений в связующем —  $\sigma^z$  на окружностях  $r = R_0$ ,  $z = \pm h_0$ .

Как видно из фиг. 1, для параметров армирования, соответствующих прямой  $c_i B_i$  ( $i = 1, 2, 3, 4, 6$ ) и точке  $b_i$ , нагрузка начального „разрушения“ пластинки является наибольшей. Таким образом, значения  $\sigma_0$  на прямой  $c_i B_i$  ( $i = 1, 2, 3, 4, 6$ ) и в точке  $b_i$  соответствуют пластинке, оптимальной по начальному „разрушению“ при параметрах (3.3)–(3.5) и  $\alpha_0 > \alpha^A$ . При этом нагрузка начального „разрушения“ пластинки оптимальной структуры может превышать нагрузку начального „разрушения“ пластинки с нерациональной структурой армирования в несколько раз.

Из соотношений (2.5)–(2.7), (2.10), (2.11) при параметрах (3.3) нетрудно видеть, что величина  $p'$  пропорциональна параметру  $\alpha_0$ , а величина  $p''$  — параметру  $\alpha_1$ , тогда из условия

$$p' = p'' \tag{3.6}$$

нетрудно получить зависимость

$$\alpha_0 = f(\alpha_1, \alpha_2, \alpha_3, \alpha_4, \alpha_5, \alpha_6, \alpha_7, \alpha) \tag{3.7}$$

используя которую можно определить величину  $\alpha^A$  следующим образом:

$$\alpha^A = \max_{\alpha_1, \alpha_2} f \quad (0 < \alpha_1 \leq 2, \quad \alpha_2 = 0 \text{ и } \alpha_1 + \alpha_2 + 2\alpha_3 = \alpha) \tag{3.8}$$

На фиг. 1 пунктирная кривая соответствует зависимости параметра  $i = \sqrt{\frac{D_{\theta\theta}}{D_{zz}}}$  (характеризующего отношение изгибной жесткости пластинки в кольцевом направлении к изгибной жесткости в радиальном) от  $\alpha_1 \omega_1$  при  $\omega_2 = 0$  и  $K = 75$ . Из сравнения этих кривых и вели-

чины  $p_0$  видно, что с точки зрения начального „разрушения“ структура армирования пластинки будет оптимальной не только при  $\lambda > 1$ , как это утверждается, например, в [3], но и при  $\lambda < 1$ . „Так, для 1, 2, 3, 4 и 6 вариантов параметров из (3.5) при  $0.275 < a_{2p_1} < a_{2p_1}(B_i)$  ( $a_{2p_1}(B_i)$  — абсцисса точки  $B_i$ ,  $i = 1, 2, 3, 4, 6$ ) пластинка также является оптимальной по начальному „разрушению“, однако  $1 > \lambda$ “.

На фиг. 2 приведены зависимости нагрузки начального „разрушения“ от угла армирования —  $\mu$  при (3.3), (3.4).

|        |   |                |                          |
|--------|---|----------------|--------------------------|
|        | $\xi_0 = 5,$                                | $\xi_0 = 1.3$  |                          |
| 1. (2) | $\omega_1 = \omega_2 = \omega_3,$           | $E = 15 (75),$ | $\lambda^b = 9.9 (17.1)$ |
| 3. (4) | $\omega_2 = 0, \quad \omega_1 = 2\omega_3,$ | $E = 15 (75),$ | $\lambda^b = 8.2 (14)$   |
| 5. (6) | $\omega_2 = 0, \quad \omega_1 = 2\omega_3,$ | $E = 15 (75),$ | $\lambda^b = 7.6 (11.1)$ |
| 7. (8) | $\omega_1 = \omega_2 = 0,$                  | $E = 15 (75),$ | $\lambda^b = 6.5 (16.6)$ |

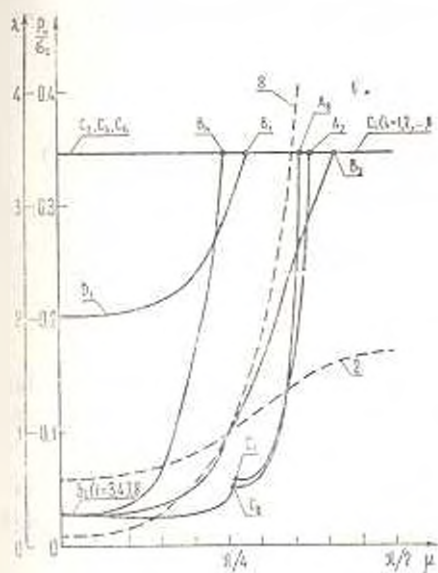
(3.9)

и  $\lambda > \lambda^b$ . Как видно из фиг. 2, значения  $\mu$  на прямых  $B_1C_1, C_1C_2, B_3C_3, B_4C_4, C_4C_5, C_4C_6, A_1C_7, A_1C_8$  соответствует пластинке оптимальной структуры по начальному „разрушению“.

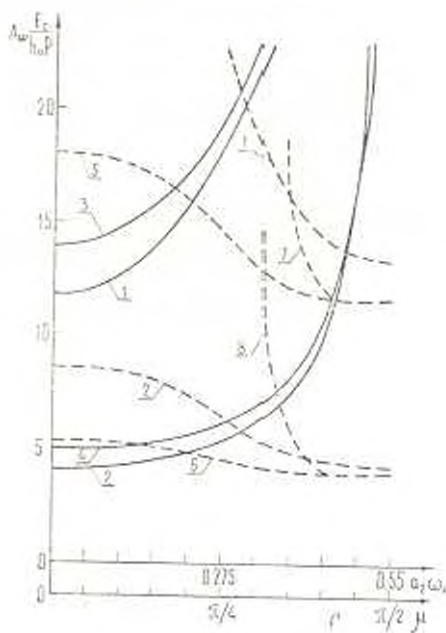
Пунктирные кривые на фиг. 2 соответствуют зависимостям параметра  $\lambda$  от  $\mu$  при  $E = 75$  и параметрах 2) и 8) из (3.9). Из рассмотрения кривых на фиг. 2 видно, что (кривая  $E, C, A_5C_5$ ) для значений  $\mu$  на участке  $b, C_8$  пластинка начинает „разрушаться“ от нормальных напряжений в связующем —  $\sigma_2$  на окружностях  $r = r_0, z = \pm h_0$  на участке  $C, A_1$  — от нормальных напряжений в связующем —  $\sigma_2$  на окружностях  $r = r_0, z = \pm h_0$  и на участке  $A_5C_5$  — от сдвиговых напряжений в связующем —  $\tau_{02}$  на окружности  $r = R_0$  и  $z = 0$ . При этом на участке  $C, A_1$  при  $\mu > \mu^b$  пластинка не является оптимальной по начальному „разрушению“, а тем самым и распределение напряжений будет нерациональным. Однако, при  $\mu > \mu^b$  и восьмом варианте параметров из (3.9)  $\lambda > 1$ , но это противоречит утверждению [3], что при  $\lambda < 1$  распределение напряжений является рациональным.

Результаты, приведенные из фиг. 2, 3, позволяют сделать выводы: а) использование модели армированного слоя из [6] (соотношения (1.3) — (1.6)) позволяет определить не только вид начального „разрушения“ и координаты, в которых оно начинается в зависимости от структуры армирования пластинки, но и такую структуру армирования, при которой нагрузка начального „разрушения“ является наибольшей; б) при создании материала армирования и связующего целесообразно добиваться увеличения относительной прочности армирования выше величины  $\lambda^b$ , так как это не приводит к увеличению нагрузки начального „разрушения“ пластинки; в) пластинка, оптимальная по начальному „разрушению“, является и рациональной с точки зрения распределения напряжений, поэтому утверждение [3], что при  $\lambda \geq 1$  пластинка имеет рациональное распределение напряжений не всегда справедливо.

На фиг. 3 приведена зависимость  $A$  от  $a_2\omega$ , при параметрах (3.3)—(3.5) (сплошные кривые) и от угла армирования—при параметрах (3.9) (штриховые линии).



Фиг. 2.



Фиг. 3.

Как видно из фиг. 3, для рассматриваемых значений параметров, пластинка будет рациональной с точки зрения жесткости, если вся арматура уложена в кольцевом направлении. При этом величина максимального прогиба рациональной пластинки может быть существенно ниже (на порядок и более) по сравнению с максимальным прогибом пластинки с нерациональной структурой.

Институт гидродинамики  
СО АН СССР

Поступила 29 V 1972

ՀԱՅ. Վ. ԿՆՏՐՈԼԻՆԻ Բ. Ս. ՈՅՏԱԿՈՎ

ԱՐԹԱՎԱՐՎԱՆ ԿԼՐ ԵՎ ՈՂԱԿԱՅԻՆ ՍԱԿԻՐԻ  
ՍԿՐԻՆԱԿԱՆ ՔԱՅՔՈՅՄԱՆ ՄԱՍԻՆ

Ա. Վ. Կ. Ո. Ս.

Սափրի առանցքասիճևարիկ ծովան հափասարումների հիման վրա, որտեղ հաշիբ ևն ստնվում լաիահան սա՛րր, արմափորման ձևը ուսումնասիրվել ևն սալի սկզբնական բաշրայման հետ կառված հարցերը արմատաւրայի և կապող նյութի բաշրայման հաշվատումով:

Գրվել է կոնկրետ ղեպերի նամար լուծվել է ամրության և կոշտության տեսակետից կառուցվածի տարրերի մեխանիկական պարամետրերի և սայի արմատավորման ձևի բնութագրման ռադիոնուլ բնույթի մասին խնդիրը:

Յույց է սրված, որ մեխանիկական և կազմային պարամետրերը նպաստապարհում են սայի բայրայման բնույթի վրա և ոչ բոլոր ղեպերում է նպաստակա նամար մեծացնել արմատորայի ամրությունը կոնստրուկցիայի կողմանկությունը բարձրացնելու նամար:

## ON INITIAL FRACTURE OF REINFORCED CIRCULAR AND RING SHAPED PLATES

Yu. V. NEMIROVSKY, B. S. RESNIKOV

### S u m m a r y

The equations are derived for axisymmetric bending of circular plates, taking into account the structure of reinforcement and the effect of transversal shear. The mode of initial fracture is examined.

The cases of fracture in plates due to the action of transversal shear, normal stresses in matrix and elements of reinforcement are singled out. The initial fracture loads for these cases are determined.

Some problems of rational choice of mechanical parameters for elements of composition and structure of reinforcement in terms of strength and rigidity are formulated. A few specific examples are presented.

### ЛИТЕРАТУРА

1. Гавриловский Ю. М., Резн. А. В. Особенности расчета деталей из армированных пластиков. «Эксперт», Рига, 1969
2. Резн. А. В., Немировский Ю. В. О некоторых особенностях деформирования уругих и неупругих армированных и ослабленных оболочек. Изв. АН Арм.ССР, Механика, т. 25, № 4, 1972
3. Ковалева В. И. Свойства анизотропные пластики и оболочки из армированных пластмасс. «Машинное строительство», М., 1965.
4. Либардурия С. А. Теория анизотропных пластин. «Наука», М., 1967
5. Терезилова И. Г. К построению точечных теорий пластин и оболочек. ПММ, т. XXVI, вып. 2, 1962
6. Немировский Ю. В. Об упруго-пластическом поведении армированного слоя. ПМТФ, № 6, 1969.
7. Зильберман Г. А. Вискоупругое ориентирование стеклопластика. М., «Наука», 1966.
8. Физические и механические свойства стеклопластиков. Справочник под ред. Ю. М. Молчанова. Рига. «Эксперт», 1969.
9. «Современные композиционные материалы». Под ред. А. Браутмана, Р. Крока. М., «Мир», 1970
10. Билибин И. И. К вопросу о гипотезах прочности. Вестник инженерной и технической, 1937, № 1

М. М. ЗАСТАВА

### СТАТИСТИЧЕСКИЙ АНАЛИЗ СООТНОШЕНИЯ МЕЖДУ ДЕФОРМАЦИЯМИ УСАДКИ И ПОЛЗУЧЕСТИ ТЯЖЕЛОГО БЕТОНА

В литературе имеется большое число аналитических выражений, связывающих предельные или текущие величины усадочных деформаций бетона с его деформациями ползучести в определенном момент времени [1, 2, 3, 4]. В общем виде все эти формулы имеют вид

$$\epsilon_{II} = \epsilon_{I,C} \Phi \quad (1)$$

где  $\Phi$  — функция, зависящая от величины напряжения, при котором определяется деформация ползучести, и ряда структурных характеристик бетона и цементного камня. Число последних у различных авторов различно и включает иногда такие трудно определяемые параметры, как относительное содержание воздуха в порах цементного камня к моменту схватывания цемента [3] или предельную усадку бетона при относительной влажности 9% [4].

Несмотря на относительную сложность функции  $\Phi$ , приведенный в упомянутых работах анализ указывает на наличие прямой пропорциональной зависимости между усадкой и ползучестью бетона.

Автором статистическим анализом большого числа отечественных и зарубежных опытов получены «стандартные» кривые относительной усадки и меры ползучести эталонного тяжелого бетона в условной линейной области сжимающих напряжений. В качестве эталонного принят бетон М400, изготовленный на портландцементе М500 стандартной тонкости помола и гранитном щебне при  $v/c = 0.55$  с содержанием цементного теста  $\rho_c = 20\%$ , уплотненный вибрированием, естественного твердения. Бетонные образцы сечением  $20 \times 20$  см хранятся до начала измерения усадки 7 сут во влажных условиях. В возрасте 28 сут образцы нагружаются сжимающими напряжениями  $\sigma = 0.4 K_{sp}$  и выдерживаются при относительной влажности воздуха 70% и температуре 20 С. Стандартные кривые меры ползучести и относительной усадки бетона могут быть с достаточной точностью описаны математическими выражениями

$$C(t, 28) = 0.49(1 - 0.28e^{-0.0019(t-28)} - 0.57e^{-0.0011(t-28)}) 10^{-6} (\text{кгс/см}^2)^{-1} \quad (2)$$

$$\epsilon_{II}(t, 7) = 373(1 - 0.25e^{-0.0011(t-7)} - 0.55e^{-0.0019(t-7)}) 10^{-6} \text{ мм/мм} \quad (3)$$

Вычисление относительных координат кривых (2) и (3) показывает, что величина  $C(t, 28) = \epsilon_{II}(t, 7)$  с возрастанием длительности наблюдений  $t$  — стремится к некоторому пределу, приблизительно равному 0.0173. При этом

близость отношения к указанной асимптоте наблюдается уже с  $t - \tau = 40$  сут.

Анализ формул для определения предельных меры ползучести и относительной усадки в рекомендациях ЦНИИС [5] дает, применительно к эталонному бетону, близкую величину отношения  $C(t, 28)/\varepsilon_{\text{ср}}(t, 7) = 0.0159$ . При этом нужно обратить внимание на то обстоятельство, что согласно исследованиям Е. Н. Щербакова, величина меры ползучести пропорциональна содержанию воды в смеси  $B$  и обратно пропорциональна марке бетона  $R_{28}$ , а усадка пропорциональна  $1/R_{28}$ . Несмотря на различную зависимость характеристик деформативности от водосодержания смеси, наличие множителя  $1/R_{28}$  в выражении для меры ползучести, как показывает анализ, практически уравнивает различие во влиянии величины  $B$  на  $C$  и  $\varepsilon_{\text{ср}}$  бетона.

Для выяснения тесноты связи  $\varepsilon_{\text{п}}$  и  $\varepsilon_{\text{ус}}$  проведен корреляционный анализ результатов 17 опытов, взятых из различных литературных источников. Оказалось, что корреляционное отношение  $\gamma_{\varepsilon_{\text{п}}, \varepsilon_{\text{ус}}}$ , отражающее тесноту связи процессов усадки и ползучести бетона, с самого начала или через некоторое время после начала испытаний оказывается близким к единице. Это указывает на наличие довольно тесной корреляционной связи между рассматриваемыми процессами. Наличие устойчивой положительной корреляции между  $\varepsilon_{\text{п}}$  и  $\varepsilon_{\text{ус}}$  с физической точки зрения объясняется тем, что большинство факторов, обуславливающих рост деформаций ползучести, вызывают и увеличение усадочных деформаций [6]. Все сказанное относится к негидратированным образцам, испытываемым при слабе переменном температурно-влажностном режиме.

Для получения уравнения регрессии меры ползучести по деформациям усадки выполнен статистический анализ результатов 107 опытов различных авторов с тяжелыми бетонами, как пропаренными, так и естественного твердения. Учитывая, что ползучесть бетона зависит от некоторых факторов, не влияющих на его усадочное деформирование [6], при вычислении отношения  $C(t, \tau)/\varepsilon_{\text{ср}}(t, \tau_0)$  величины меры ползучести приводились к возрасту загрузки  $\tau = 28$  сут, относительному напряжению  $\sigma/R_{\text{пр}} = 0.4$  и марке бетона 400. Усадка принималась для образцов с длительностью влажного хранения  $\tau_0 = 7$  сут и началом замера деформаций сразу после его окончания.

Представленные на фиг. 1 результаты статистической обработки данных показывают следующее.

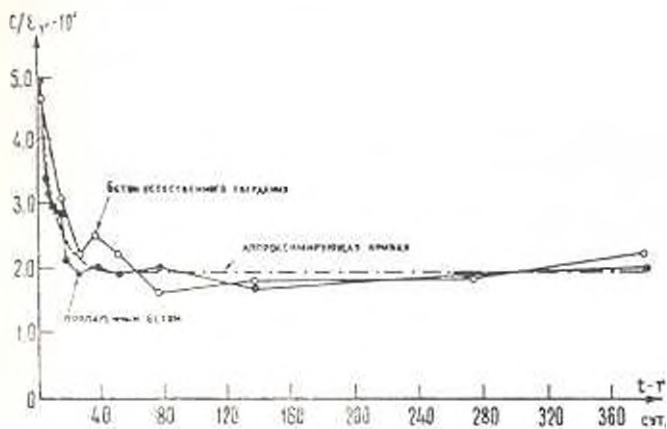
1. Зависимости между мерой ползучести и усадкой для бетонов естественного твердения и пропаренными можно считать одинаковыми.

2. В качестве уравнения регрессии можно принять при  $t - 28 \geq 45$  сут следующее простое выражение:

$$C(t, 28) = 0.02\varepsilon_{\text{ср}}(t, 7) \quad (4)$$

Величина 0.02 служит, следовательно, для пересчета ординат кривой усадки эталонного бетона при  $t \geq 73$  сут на ординаты кривой меры ползучести этого бетона. Для предельных деформаций ( $t \rightarrow \infty$ ) рекомендуется использовать полученное выше отношение  $C(t, 28)/\varepsilon_{\text{ср}}(t, 7) = 0.0175$ . Если состав, условия изготовления и эксплуатации бетона отличаются от соответ-

ствующих параметров эталонного бетона, нужно к подсчитанной мере ползучести вводить систему поправочных коэффициентов, приведенную в работе [6].



Фиг. 1.

Для подтверждения приемлемости формулы (4) и выяснения границ ее применения предпринято сравнение опытных величин мер ползучести бетона с рассчитанными по выражению (4) с использованием корректирующих коэффициентов [6]. Сопоставление проведено по результатам 85 опытов с тяжелыми бетонами разных составов, включая песчаные бетоны (растворы); в них менялось от 0.32 до 0.75. Цемент в рассматриваемых опытах применялся различный: обычный портландцемент, пуццолановый портландцемент; крупный заполнитель плотных пород: гранит, базальт, кварц, известняк, гранодиорит, диабаз. Марки испытанных бетонов находились в пределах от 150 до 800 кг/см<sup>2</sup>. Возраст загрузки образцов — от 1 до 184 сут. Среднеквадратичная ошибка предсказания  $C(t, \tau)$  по (4) получена равной  $\pm 14.1\%$ . Это приблизительно соответствует ошибке при расчетном определении меры ползучести по ранее предложенным рекомендациям [6].

Таким образом, полученную зависимость (4) можно использовать в широких пределах для прогнозирования деформаций тяжелых бетонов.

Одесская Высшая партийная школа

Поступила 11 VII 1975

И. И. ДУДИСЬКО

ՄԱՆՐ ԲԵՏՈՆԻ ԿՈՏՎՈՐՄԱՆ ԵՎ ՍՈՂԵՐ ԳԵՖՈՐՄԱՑԻԱՆԵՐԻ ՄԻՋԵՎ ԱՌՆՁՈՒԹՅԱՆ ԱՏԱՏՐՈՒԿԱՆ ԱՆԱԼԻԶԸ

И д ф и н и ц и т

Գոյություն ունի Բևտոնի նստավածրալին և սողրի գեֆորմացիաների միջև ուղիղ համեմատական կապակցություն: Բևտոնի երկարատե դեֆորմացիալի

սուսման ասիմետրիայի ուղղությունը փորձնական սովորելների անույնը բացառապես է նստվածության և սողքի ընթացքների միջև սեղմ համահարաբերակցական կապի գոյությունը: Մեծ թվով փորձնական արդյունքների ստատիստիկական մշակումը թույլ է տալիս որոշել այդ ղեֆորմացիաների միջև գոյություն ունեցող անհույսիան տեսքը:

## STRUCTURAL ANALYSIS OF DEPENDENCE BETWEEN DEFORMATIONS OF SHRINKAGE AND CREEP IN HEAVY CONCRETE

M. M. ZASTAVA

### S u m m a r y

There exists a directly proportional dependence between the values of deformation of shrinkage and creep in concrete. The analysis of experimental data on prolonged deformation of concrete reveals the existence of close correlational dependence between the processes of shrinkage and creep. The statistical treatment of a large number of experimental results allows to find out the analytical nature of dependence between the values of these deformations.

### ЛИТЕРАТУРА

1. *Lysse I.* The shrinkage and creep of concrete. Bulletin RILEM № 3, 1959.
2. *Alt L., Kesler C. E.* Mechanisms of creep in concrete. Symposium on creep of concrete. ACT Special Publication, № 7, 1962.
3. *Neettle A. M.* Creep of concrete: Plain, Reinforced and Prestressed. North Holland Publishing Company—Amsterdam, 1970.
4. *L'Hermite* What do we know about the plastic deformation and creep of concrete. Bulletin RILEM, № 1, 1957.
5. *Щербаков Е. П.* О прогнозе величины деформаций ползучести и усадки тяжелого бетона в стадии проектирования конструкций. Труды ЦНИИС, вып. 70. Изд-во «Транспорт», М., 1969.
6. *Проконисич И. А., Застава М. М.* О расчетном определении предельных значений деформации тяжелого бетона. Бетон и железобетон. № 5, 1972.